OFFICE DE LA RECHERCHE SCIENTIFIQUE ET TECHNIQUE OUTRE-MER

INSTITUT FRANCAIS D'OCÉANIE

ETUDE PLUVIOMETRIQUE EN NOUVELLE - CALÉDONIE

F. MONIOD

NOUMEA DECEMBRE 1960

OFFICE de la RECHERCHE SCIENTIFIQUE et TECHNIQUE OUTRE-MER

Institut Français d'OCEANIE

ETUDE PLUVIOMETRIQUE en NOUVELLE-CALEDONIE

par

F. MONIOD

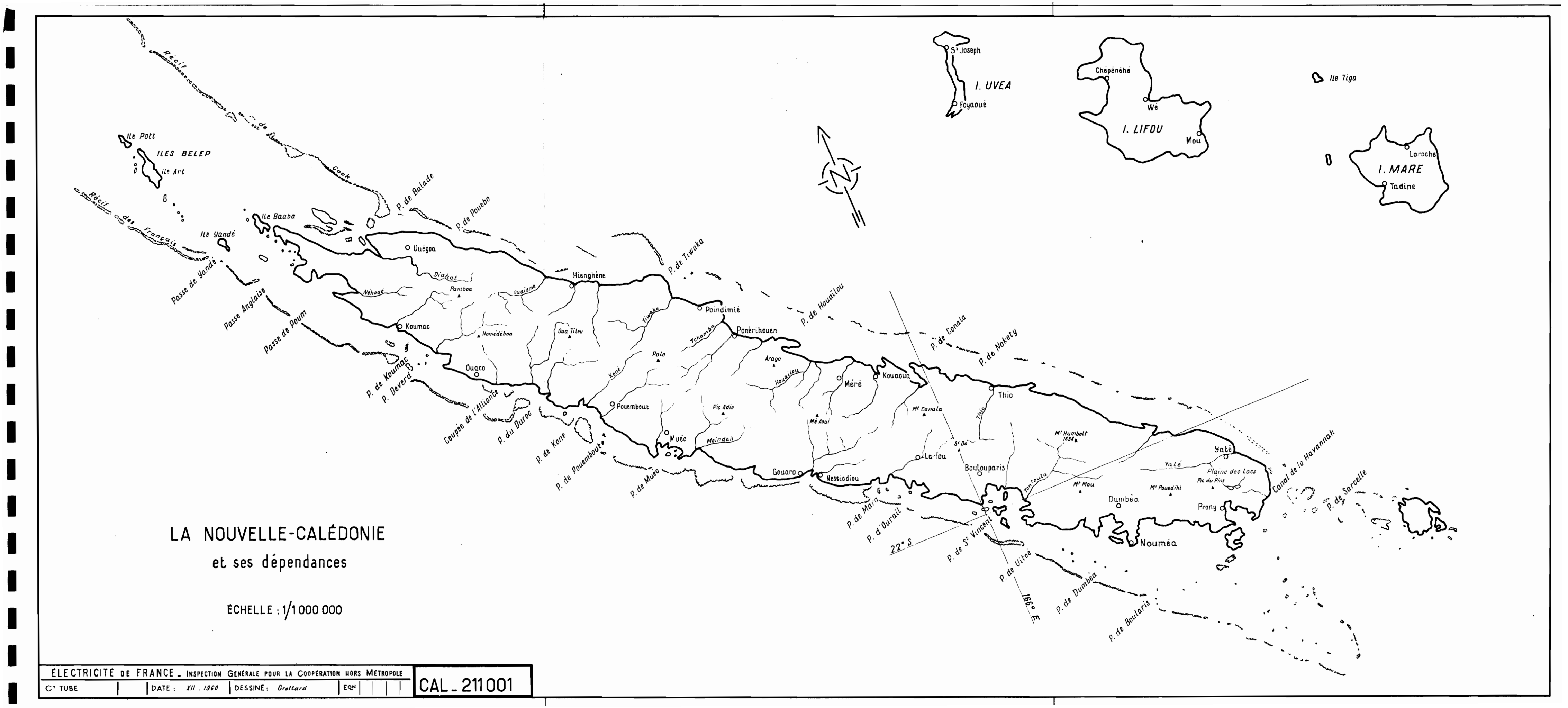
Ing(nieur Hydrologue Chargé de Recherches à 1'0.R.S.T.O.M.

ETUDE PLUVIOMETRIQUE EN NOUVELLE-CALEDONIE

Le but que nous poursuivons dans la présente étude est d'obtenir une connaissance non pas détaillée, mais élémentaire, de la répartition des pluies dans l'espace et dans le temps en NOUVELLE-CALEDONIE.

Grâce aux nombreux pluviomètres installés dans tout le territoire, nous avons pu dresser des cartes des isohyètes annuelles constituant ainsi un document pouvant servir de base à toute étude climatologique ou hydrologique en NOUVELLE-CALEDONIE.

Etant donné l'écart considérable que l'on peut constater entre les hauteurs de précipitations relatives à une même période, l'intérêt d'une étude des fréquences des pluies nous est apparu important. Aussi, grâce au grand nombre d'années d'observations dont dispose le Service Météorologique de la NOUVELLE-CALEDONIE, nous avons pu tenter un premier essai d'étude statistique de la pluviométrie annuelle et mensuelle et fixer de la sorte, un ordre de grandeur des hauteurs de précipitations de fréquences rares.



ISOHYETES ANNUELLES

Le territoire de la NOUVELLE-CALEDONIE est équipé d'un double réseau pluviométrique.

- Celui du Service Météorologique dont les premiers postes fonctionnent depuis 1903 et qui intéresse essentiellement la zone côtière de l'île
- Celui de la Section Hydrologie de l'Institut Français d'Océanie, beaucoup plus récent (1953), complètant celui de la Météorologie puisqu'il intéresse principalement l'intérieur du pays : la chaîne.

Tandis que le réseau du Service Météorologique est entièrement doté de pluviomètres à relevés journaliers, ce-lui de l'I.F.O. comprend, outre de tels appareils, implantés à proximité des habitations permanentes, des appareils to-talisateurs à relevés hebdomadaires, bimensuels ou même semestriels suivant les difficultés d'accès et l'éloignement des centres habités.

Ceci étant, il apparaît que la répartition de la pluviométrie sur le Territoire est connue avec la meilleure précision pour une période annuelle, groupant ainsi le maximum de renseignements.

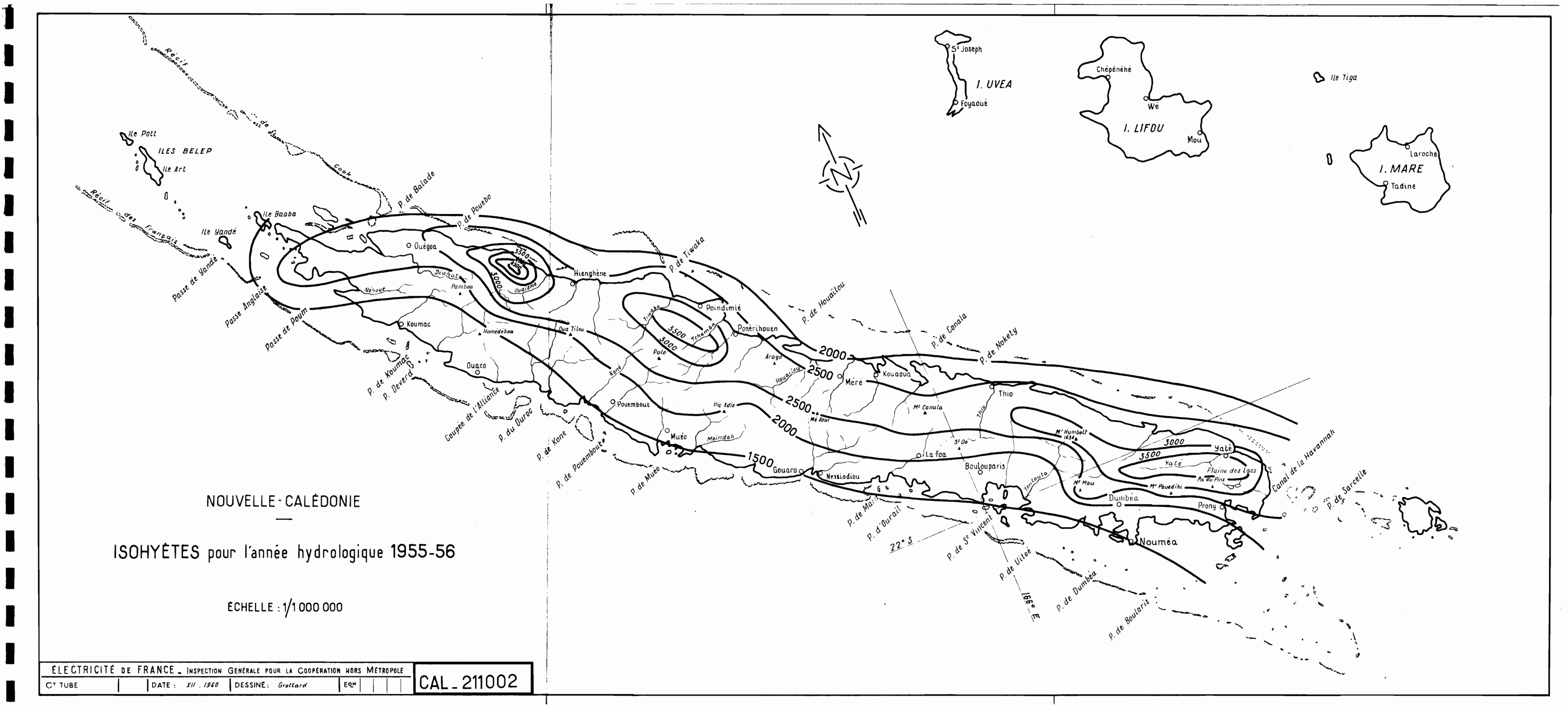
C'est pourquoi il nous a paru utile de dresser, depuis la mise en service du réseau de l'I.F.O., les cartes des isohyètes annuelles, cartes qui deviendront de plus en plus précises et détaillées au fur et à mesure que s'amélio-rera l'équipement pluviométrique du Territoire.

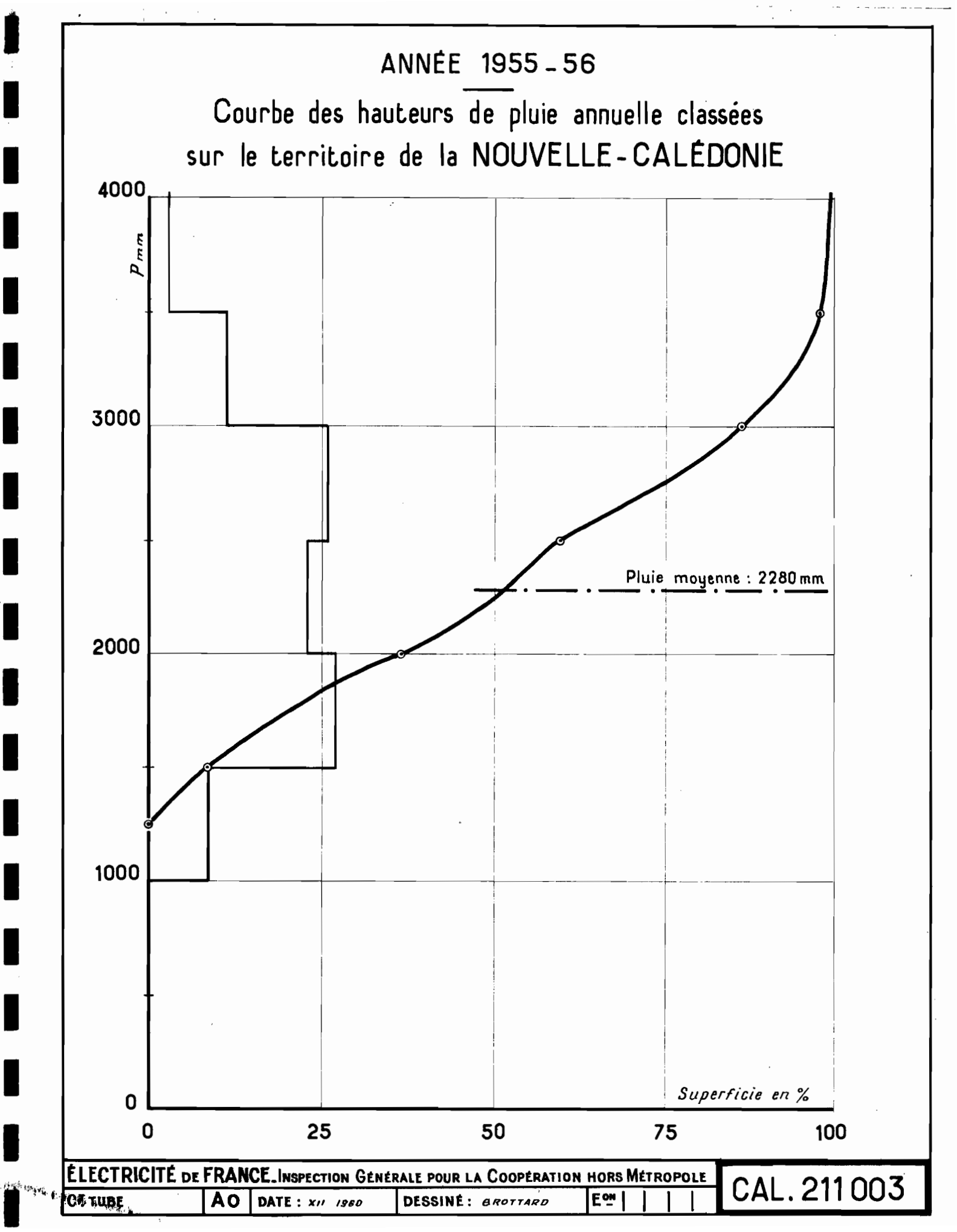
Les totaux pluviométriques servant à tracer les isohyètes ont été calculés, en chaque poste, par "année hydrologique" qui débute le ler Juillet pour se terminer le 30 Juin.

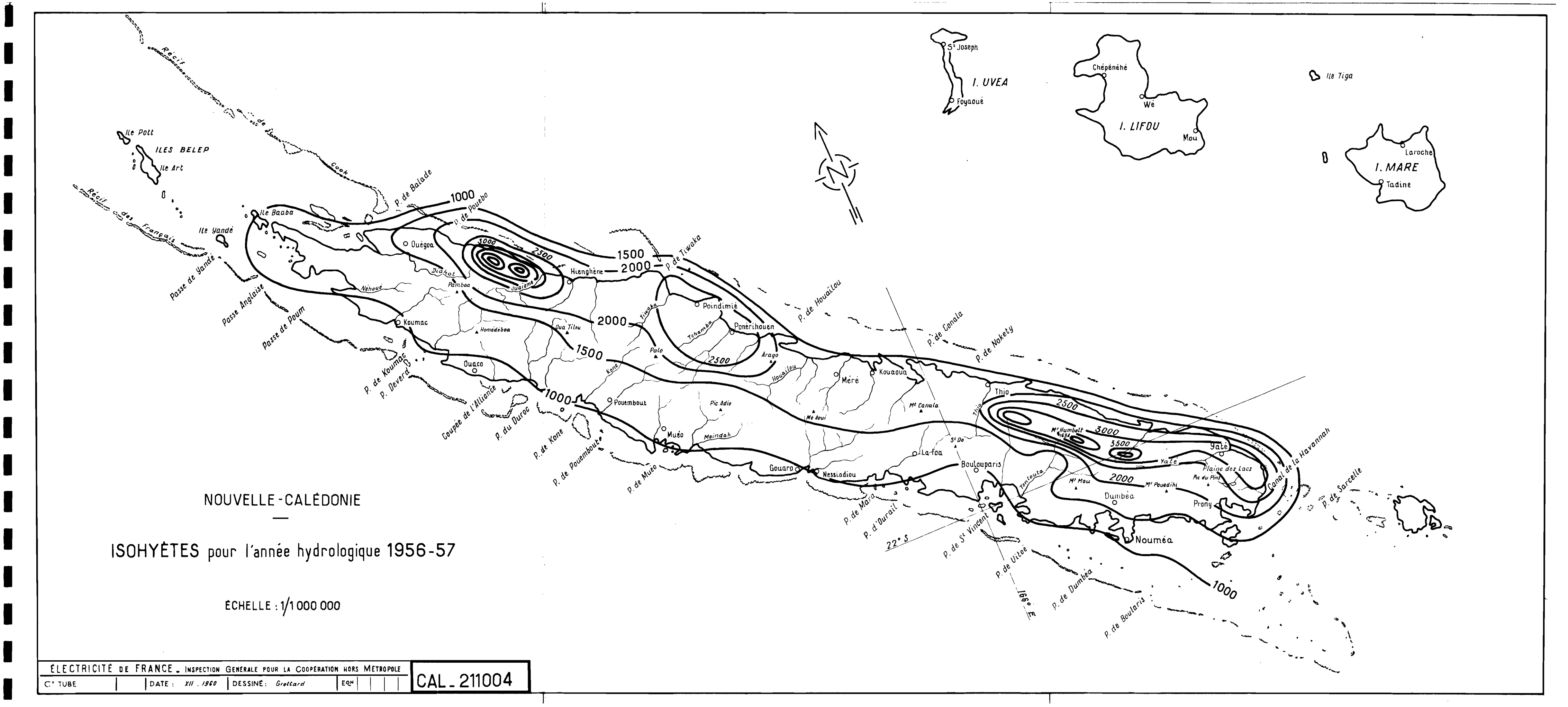
Cette nouvelle détermination de l'année n'est pas fortuite. Elle permet, en effet, de grouper dans un même total, les hauteurs pluviométriques d'une saison sèche et d'une saison humide complètes.

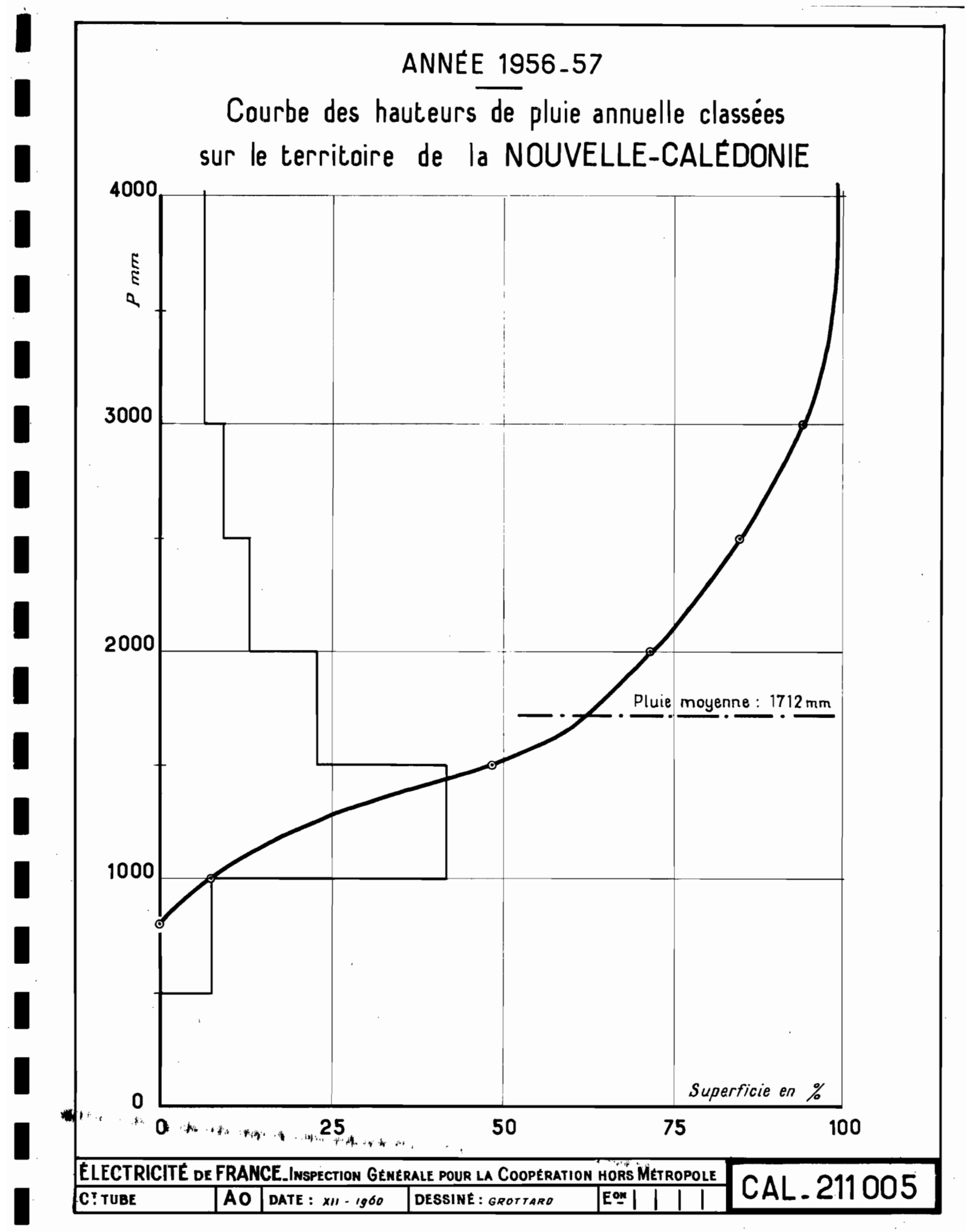
Nous avons pu établir cinq cartes des isohyètes annuelles de la NOUVELLE-CALEDONIE, de 1955-56 à 1959-60. Ce nombre est encore bien insuffisant pour en faire ressortir une image précise et quasi-immuable de la répartition moyenne interannuelle des précipitations sur le Territoire. Nous nous contenterons donc de comparer ces cinq croquis, de chercher ce qui les rapproche et ce qui les différencie.

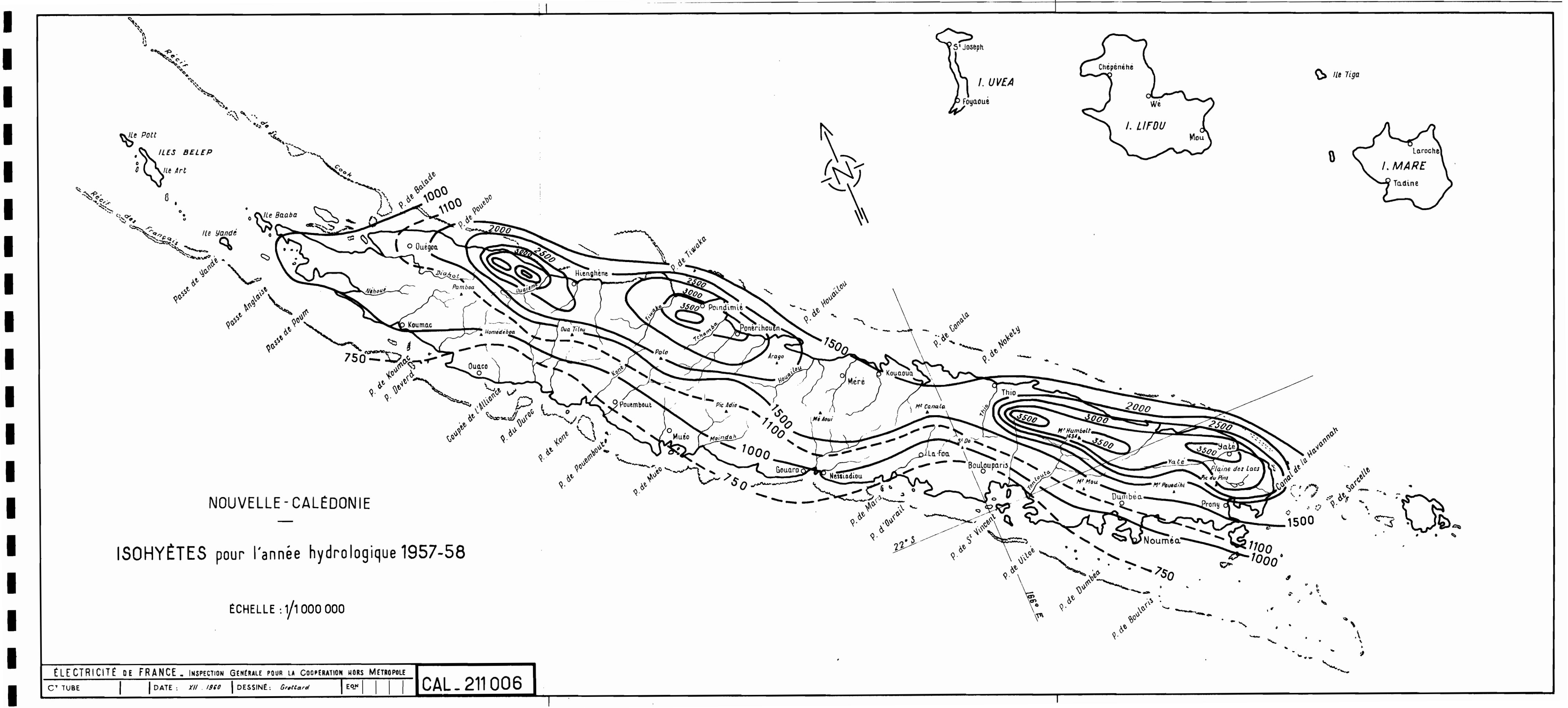
Pour chaque année, nous avons également tracé la courbe des précipitations classées sur la superficie du Territoire, et un graphique montrant quel pourcentage de la superficie a été affecté par chaque bande pluviométrique.

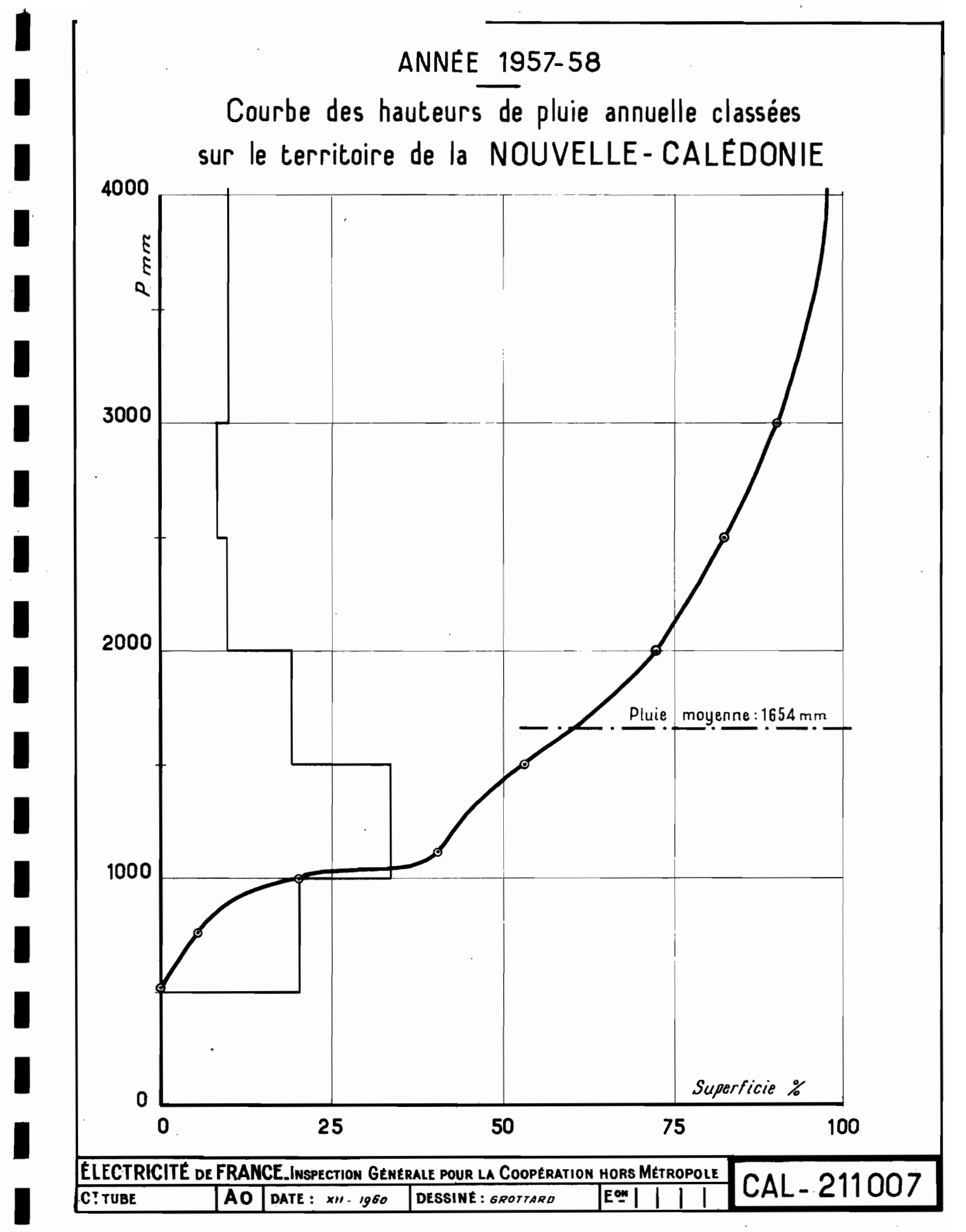


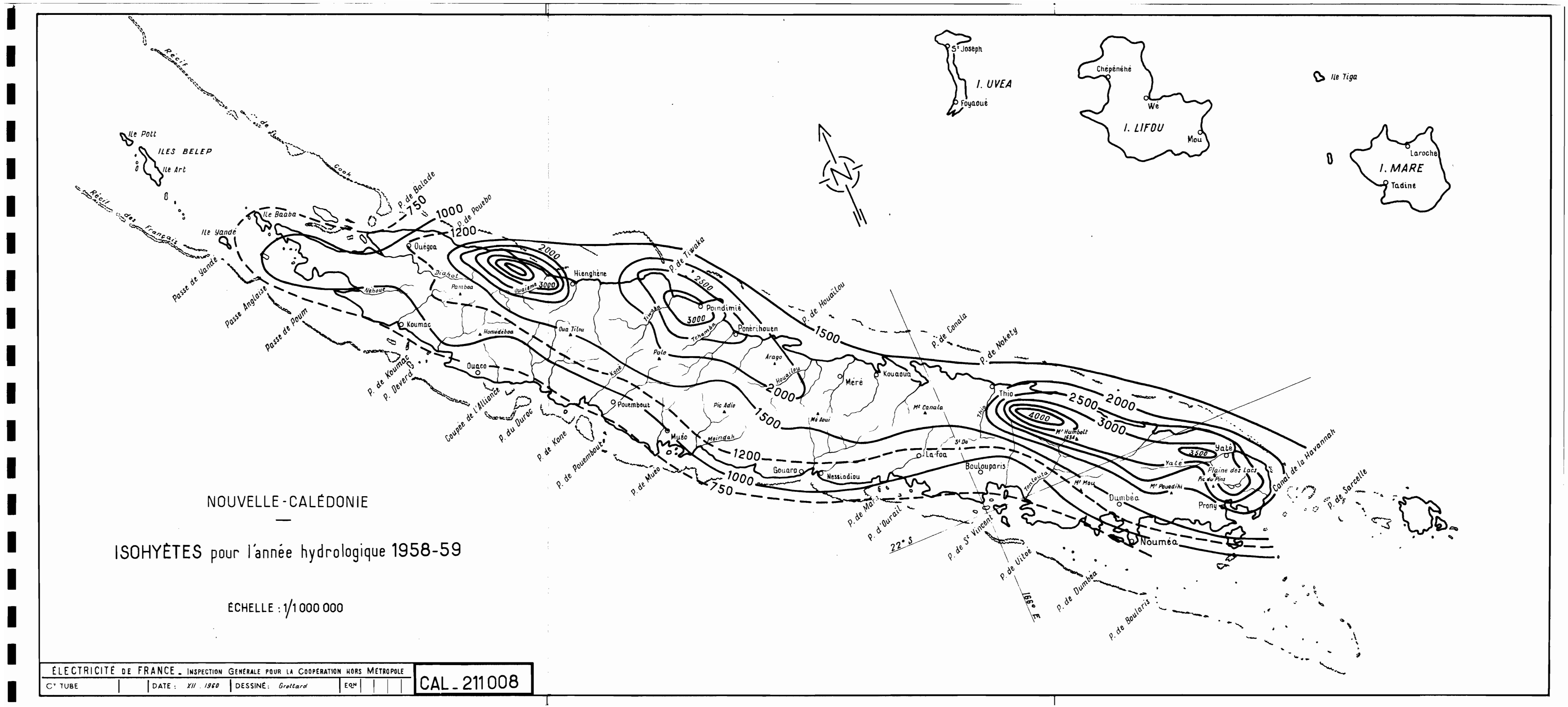


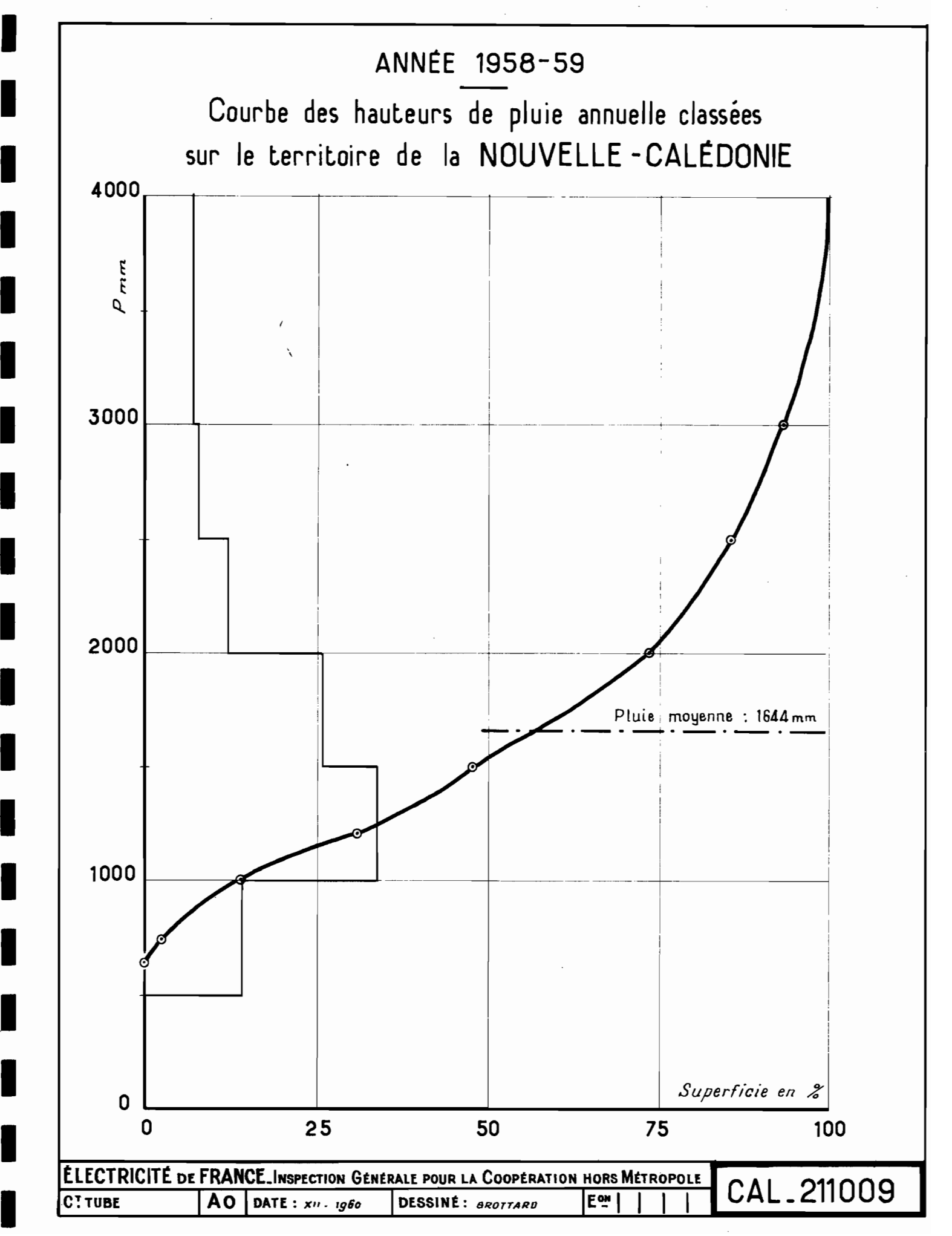


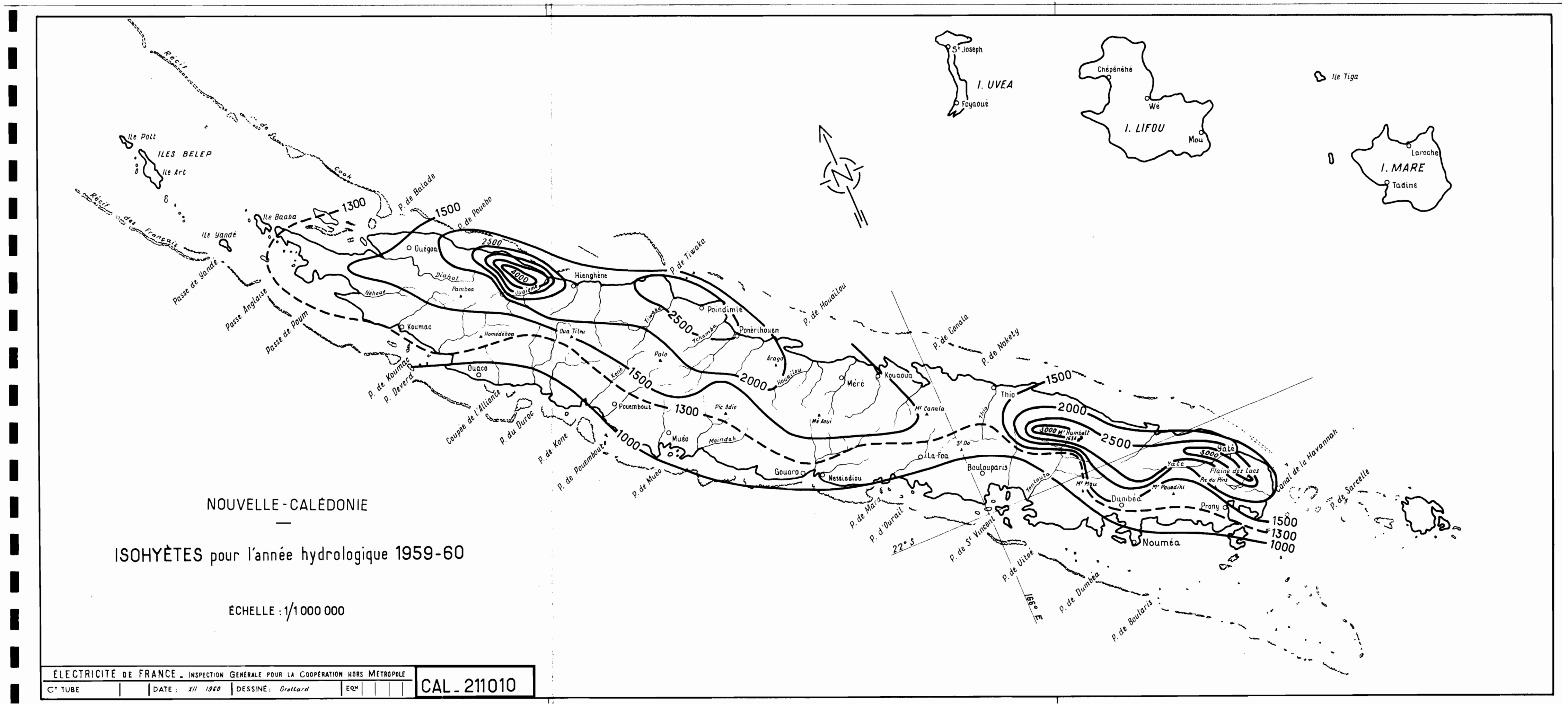


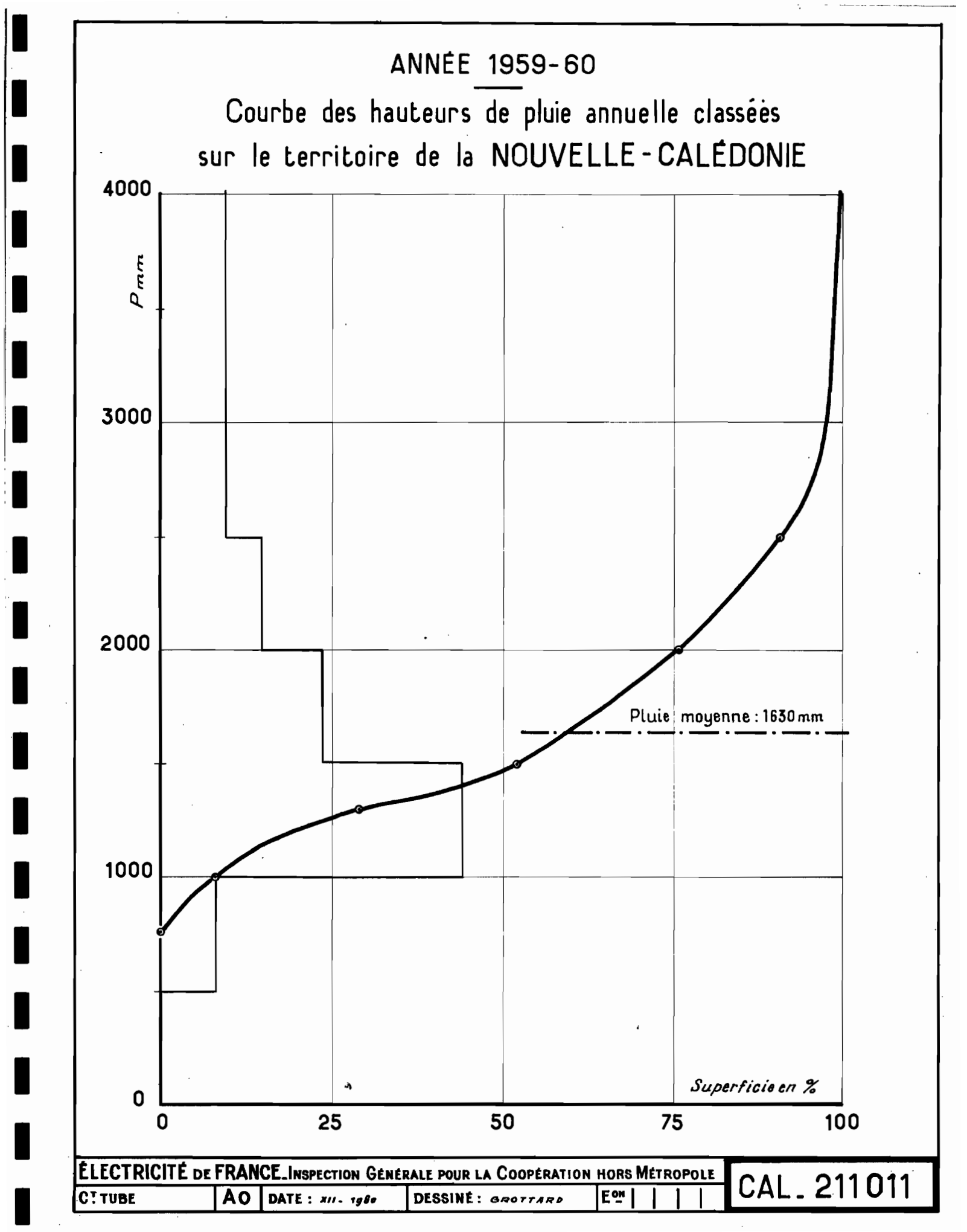












EXAMEN des CARTES

Les isohyètes annuelles sont concentriques et suivent grossièrement la forme allongée de l'Île. Tandis qu'elles sont largement espacées sur le littoral occidental, les courbes se resserrent sur la côte Est puis se séparent et dessinent trois zones individualisées de forte pluviométrie : OUAIEME, TIWAKA et YATE.

Entre ces trois "monts de pluviométrie", les isohyètes se resserrent en deux étranglements suivant les axes Voh-Hienghène et La Foa-Canala. On observe donc sur le littoral occidental deux régions de faible pluviométrie, celle de VOH-OUACO, correspondant au premier étranglement, et celle de BOULOUPARIS-TONTOUTA correspondant au second.

Ce schéma de la répartition géographique des précipitations ainsi défini est à rapprocher de l'allure générale du relief de l'île.

Tandis que le littoral oriental est escarpé et que les sommets de la chaîne arrivent souvent presque en bordure de la mer, le littoral occidental est beaucoup moins accidenté, plus mamelonné et l'altitude s'élève progressivement quand on s'enfonce dans l'intérieur du pays.

Ainsi, les Monts PANIE, au Nord et HUMBOLDT, au Sud, qui dépassent 1 600 mètres d'altitude, sont la cause des fortes précipitations observées sur le bassin de la OUATEME et celui de la YATE.

Les deux chaînons parallèles qui forment les caps de TOUHO et de POINDIMIE enserrent, dans le fer à cheval qu'ils forment, le bassin de la TIWAKA qui est également très arrosé.

Derrière cette barrière montagneuse, le littoral occidental est abrité de l'influence des vents d'Est et recoit, en conséquence, beaucoup moins de pluie. La région de OUACO est abritée par le Massif Nord, la plaine de BOULOUPARIS, par le Massif Sud.

Cependant, si la répartition géographique des pluies semble se retrouver chaque année identique, ce qui est tout à fait compatible avec la permanence de l'orientation de cette répartition (le relief), on observe, d'une année sur l'autre, en un même point du Territoire, de grandes variations de la hauteur de précipitations annuelles : ainsi, l'isohyète l 500 d'une année deviendra par exemple l'isohyète 2 000 d'une autre. Ces grandes variations interannuelles que l'on essayera d'étudier dans la deuxième partie de cette note, l'instabilité de la position des courbes d'égales précipitations, incitent à interpreter avec beaucoup de réserve la notion de pluviométrie moyenne. Cela vient encore renforcer le fait qu'il paraît bien prématuré de tenter de dresser une carte des isohyètes interannuelles de la NOUVELLE-CALEDONIE.

Si d'ailleurs on considère les courbes de hauteurs de pluie annuelle classées sur le Territoire, et que l'on essaye de les superposer, on s'apercevra des écarts qui peuvent exister d'une année à l'autre.

Nous avons pensé que pour pouvoir classer les différentes années les unes par rapport aux autres, du point de vue pluviométrique, il était commode de calculer la hauteur d'eau moyenne tombée pendant l'année sur l'ensemble du Territoire, comme on le fait sur le bassin versant d'une rivière.

Les résultats sont les suivants :

Année	<u> Hauteur</u>		<u>1e</u>
1955-56	2 2		
1956 - 57 195 7- 58	1 7 1 6		
1958 – 59 1959 – 60	1 6 1 6	• •	

Par conséquent, depuis cinq ans, la pluviométrie moyenne sur la superficie totale de l'Île n'a cessé de décroître.

Alors que les 4 dernières années se groupent dans un intervalle assez restreint, l'année 1955-56 dépasse de 600 mm les suivantes. Lorsque le nombre d'années d'observations sera multiplié, il sera possible d'estimer la fréquence de cette pluviosité annuelle, qui apparaît déjà assez exceptionnelle.

Le pluviomètre totalisateur installé sur la face Est du Mont PANIE est l'appareil qui a enregistré la plus grande hauteur de précipitation annuelle, avec plus de 7,50 m durant l'année hydrologique 1959-60. Il est probable que sur les flancs du Massif du Mont HUMBOLDT on pourrait mesurer une hauteur d'eau semblable.

Le poste météorologique de OUACO, à l'autre extrêmité de l'échelle, enregistre la plus faible hauteur pluviométrique annuelle du Territoire, - entre 5 et 700 mm en année moyenne -. Il apparaît enfin très clairement sur les graphiques que la bande des l 000 à l 500 mm est celle qui affecte la plus grande partie de la superficie du Territoire, de l'ordre de 30 % une année dans l'autre.

ETUDE de la PLUVIOMETRIE ANNUELLE et MENSUELLE

aux STATIONS METEOROLOGIQUES

de NOUMEA, GOMEN et YATE

L'examen de la carte des isohyètes annuelles de la NOUVELLE-CALEDONIE révèle l'existence de trois régions à forte pluviométrie et de deux régions particulièrement défavorisées.

Sont abondamment arrosées les régions :

- du Nord Est, le Massif du Mont PANIE
- du Centre Est entre TOUHO et PONERIHOUEN
- du Sud Est. le Massif du Mont HUMBOLDT

Par contre, sont relativement sèches, les plaines littorales de BOULOUPARIS au Sud-Ouest et de OUACO au Nord-Ouest.

Ce schéma de la répartition géographique des précipitations sur le Territoire est celui que l'on retrouve chaque année dans le tracé de la carte des isohyètes annuelles. Chaque année apportant un complément d'information, il est possible d'obtenir avec de plus en plus de précision l'image de la répartition "dans l'espace" des pluies en NOUVELLE-CALEDONIE.

C'est pourquoi il nous a paru bon de rechercher parallèlement quelle pouvait être la répartition "dans le temps" des précipitations atmosphériques et cela, en qualques stations caractéristiques du Territoire. Nous avons choisi les stations de l'O.N.M. de NOUMEA, GOMEN et YATE qui sont bien réparties dans l'Île, et ont l'avantage de présenter un nombre d'années d'observations suffisant pour y développer une première étude statistique.

PLUVIOMETRIE ANNUELLE

Dans ce chapitre, nous nous proposons :

- d'étudier la répartition statistique des valeurs de l'échantillon des pluies annuelles que nous possédons à chacune des stations
- de définir les fréquences caractéristiques des précipitations annuelles.

I - Station de NOUMEA

Le poste pluviométrique de NOUMEA, mis en service en 1903, fournit un échantillon de 57 années consécutives de 1903 à 1960. Les valeurs extrêmes de l'échantillon figurent :

en 1910 avec 2 038 mm et en 1927 avec 504 mm

Cet écart considérable, du simple au quadruple, entre les années de plus forte et de plus faible pluviométrie observées, est caractéristique du climat calédonien.

a) Précipitation moyenne interannuelle

La moyenne arithmétique de 57 totaux pluviométriques annuels est de :

$\overline{P} = 1.059,8 \text{ mm}$

Il convient de ne pas perdre de vue le caractère fluctuant de cette moyenne. C'est là une conséquence évidente de l'étendue des limites entre lesquelles peut varier la pluviométrie annuelle. Mentionnons seulement à titre indicatif, que les deux seules dernières années 1958 et 1959, marquées par une sècheresse pourtant peu sévère (998 et 865 mm) ont fait baisser la moyenne interannuelle sur 57 ans de 5,4 mm.

Les écarts maximaux à cette moyenne, observés en 1910 et 1927, sont de + 978 mm et - 556 mm. Les moyennes

arithmétiques des écarts positifs et négatifs à la pluie moyenne interannuelle sont de + 249 et - 260 mm.

b) Ecart quadratique moyen

Les 57 valeurs de l'échantillon ont été classées par ordre de décroissance, et on a affecté à chacune d'elles la fréquence au dépassement correspondant à son rang, suivant la formule :

$$F = \frac{n - \frac{1}{2}}{N}$$

où n est le rang de l'année (n entier > 1 et < 57) et N le nombre total des valeurs de l'échantillon (57). Dans le tableau n° 1, on trouvera la liste des pluies annuelles classées, avec leur numéro d'ordre, leur fréquence expérimentale, l'écart à la moyenne et le carré de cet écart. L'écart quadratique moyen cont la formule :

$$\sigma^2 = \frac{1}{N-1} \sum_{n=1}^{N} (P - P)^2$$

constitue une approximation correcte, atteint la valeur :

$$\sigma = 321 \text{ mm}$$

La dispersion des valeurs à l'intérieur de l'échantillon est donc élevée.

c) Intervalle interquartile :

En supposant implicitement que l'échantillon des pluies annuelles suive la loi de répartition statistique de Gauss, la moitié des valeurs observées doit se trouver dans l'intervalle de pluviométrie défini par :

$$(\overline{P}-\frac{2}{3} \, \, \overline{\bigcirc} \, \, , \, \overline{P}+\frac{2}{3} \, \, \overline{\bigcirc} \,)$$

Dans le cas présent, les bornes de cet intervalle sont :

$$1\ 060 + \frac{2}{3} \times 321 = 1\ 274 \text{ mm}$$

$$1\ 060 - \frac{2}{3} \times 321 = 846 \text{ mm}$$

Effectivement, on dénombre 28 valeurs sur 57 comprises dans l'intervalle :

Parmi ces 28 valeurs, 16 sont inférieures à \overline{P} et 12 lui sont supérieures. La symétrie de la répartition est donc mal respectée.

d) Courbe représentative de la répartition statistique

On a tracé, sur un graphique en coordonnées gaussolinéaires et gausso-logarithmiques, la répartition des hauteurs de pluies annuelles en fonction de leur fréquence expérimentale. Il est visible, dans un cas comme dans l'autre, que les points expérimentaux ne s'alignent pas sur une droite mais sur une courbe continue d'allure logarithmique. Sans chercher une expression analytique de la fonction représentée graphiquement par cette courbe expérimentale, qui n'est ni linéaire, ni logarithmique, ni gaussique, nous proposons d'adopter la définition graphique suivante:

F 0,980 0,950 0,900 0,500 0,100 0,050 0,020 Pmm 512 592 671 1 030 1 489 1 640 1 833

e) Tableau comparatif des pluies annuelles correspondant à quelques fréquences données, déterminées par la loi de Gauss, par la courbe expérimentale et par la chronologie de l'échantillon.

Fréquence	Gauss	Exp.	: Echantillon	Moyenne inter-
0,980 cinquantenaire sèche	401	512	504 (P (523)	: ':
0,950 bidécennale sèche	532	592	5 7 8 (P (623)	
0,900 désennale sèche	649	671	633 < P < 691	;;
0,500 moyenne	1 060	1 030	P=1 070	1 060
0,100 décennale humide	1 471	1 489.	l 411 <p<1 421<="" td=""><td></td></p<1>	
.0,050 bidécennale humide	l 588	1 640	1 531 <p<1 688<="" td=""><td>***************************************</td></p<1>	***************************************
0,020 cinquantenaire humide	1 7 19	1 833	1 7 92 < P < 2 038	:

On voit, d'après ce tableau qu'au delà de la fréquence décennale, les valeurs calculées par l'expression de Gauss s'éloignent de la réalité, tandis que les valeurs déterminées graphiquement suivent de plus près l'échantillon.

Remarque: On observe une différence sensible (30 mm) entre la pluie de fréquence 0,5 et la moyenne interannuelle de la pluie. Cet écart est dû essentiellement à la dissymétrie de la loi de répartition.

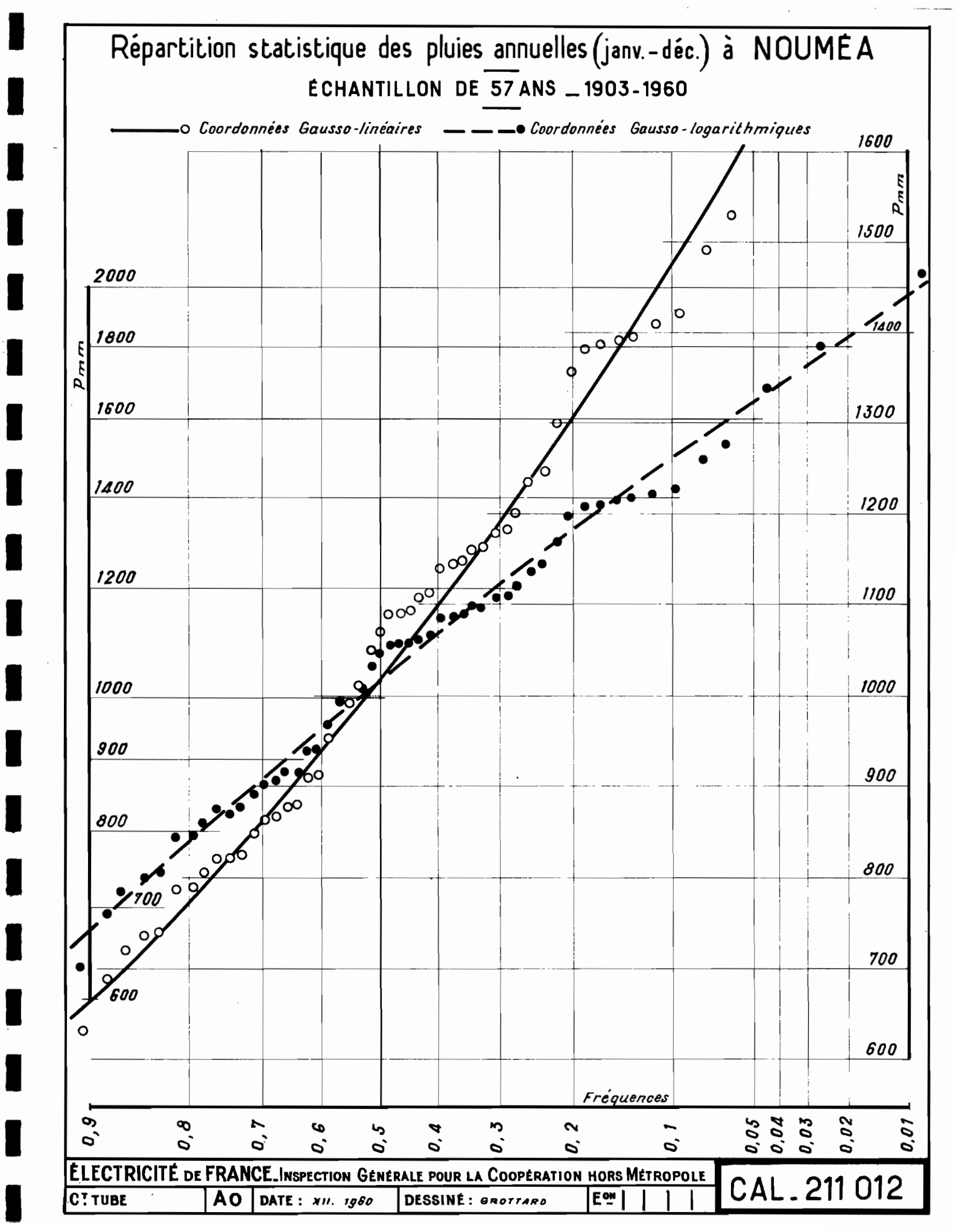


TABLEAU Nº 1

* =====================================	======	=====	=======	====		=====	=====	=======
No F. exp	Р	P-P	(P-P)	Мо	F. exp	P	P - P	(P-P)
1:0,00877	7:2 038:	978·	959 000	29	0,500	1 073	13	169
2 0,0263	1 792	732	538 000	30	0,517	1 053	$\bar{7}$	49.
3 0,0439	1 688	628·	395 000 ⁻	:31	0,535	:1 012 [,]	48 [,]	2 034:
4 0,0615	1 531	471	222 000	32	0,553	998	62	3 844.
5 0,0790	1 491	431	186 000	33	0,570	997	63 [.]	3 969:
6 0,0966	1 421	361	130 500	34	0,587	955	105	11 000
7 :0,1140	1 411:	351	123 500 [,]	:35	0,605	915	145	21 000
8 0,1315	1 396	336.	113 000	36	0,622	912	148	21 900
9 :0,149	·:1 392·:	332°	110 000	:37	0,640	883 ·	177	31 400:
10 0,167	1 387	327	107 000	. 38	0,658	879	181	32 800
:11 :0,184	1 383	323:	104 500	:39	0,675	: 867	193 [.]	37 300:
12 0,202	1 358	298	89 000	40	0,693	865	195	38 000
:13 :0,219	·1 299	239:	57 000·	:41	0,710	851	209·	43 800:
14 0,237	1 246	186	34 600	42	0,727	827	243	59 000
:15 :0,254	:1 237:	177:	31 400	:43	0,745	825 [.]	245	60 000:
16 0,2 7 2	1 205	145	21 000	44	0 , 763	824.	246	60 700
:17 :0,290	:1 185:	125:	15 700	:45	0,780	: 807	253	64 000:
18 0,307	1 179	119,	14 200	46	0,798	793.	267	71 400
:19 :0,325	:1 165:	105:	11 000	:47	0,815	7 89	271:	73 800:
20 0,342	1 162	102	10 400	48	0,834	741	319	95 900
:2 1 : 0,360	149:	89:	7 921	: 49	0,850	• 7 39	321:	97 000:
22 0,377	1 148	88	7 744.	50	0,868	723	337	114 000
123 10, 395	:1 142:	82:	6 724	:51	0,885	: 691	369·	136 500:
24 0,413	1 115	55.	3 025	. 52	0,904	633	423	179 000
:25 :0,430	110:	50° :	2 5 00′					188 000:
26 0,448	1 094	34.	1 156,	54	0,939	623	437.	191 500
27 20,465				* 55 *	•	•	•	233 500:
28 .0,483	1 091	31.	961,	. 56	0,974	523,	537.	289 000
•	•	·:		:57	0,991	• 504°	556°	310 000
: :	: :	:=====	: =======	=====	: =======	: === = ==	: :	:

II - Station de GOMEN

Dans les archives du Service Météorologique de NOUMEA, figure la liste des pluviométries annuelles à GOMEN de 1909 à 1960. Les totaux n'ayant pas pu être établis pour les années 1918 et 1932, l'échantillon se compose de 49 valeurs seulement, au lieu de 51.

Les valeurs extrêmes des hauteurs de précipitations annuelles que l'on rencontre dans cet échantillon, se situent :

> en 1917 avec 2 127 mm et en 1921 avec 479 mm

Cet écart est encore plus grand qu'à NOUMEA bien que l'échantillon soit sensiblement moins important à GOMEN.

a) Précipitation moyenne interannuelle

La moyenne arithmétique des 49 valeurs de l'échantillon est de :

$\overline{P} = 1 142,2 \text{ mm}$

On notera à GOMEN également que la fluctuation possible de ce chiffre est sensible puisque les trois seules dernières années l'ont abaissé de 7,6 mm.

Les écarts maximaux à cette moyenne, observés en 1917 et 1921, sont de + 985 mm et - 663 mm. La moyenne arithmétique des écarts positifs et négatifs à la pluie moyenne interannuelle sont de + 310 mm et - 232 mm.

b) Ecart quadratique moyen

Le même classement des 49 valeurs de l'échantillon et les mêmes calculs que ceux effectués à NOUNEA, conduisent au résultat suivant :

$$\sigma = 353 \text{ mm}$$

On trouvera dans le tableau n° II la liste de précipitations annuelles avec leur numéro d'ordre, leur fréquence expérimentale, l'écart à la moyenne \(P - P \) et le carré de cet écart.

TABLEAU Nº 2

No:F. exp P :P-P (P-P) No:F. exp P :P-P (P-	P)
1 :0,0102 :2 127: 985:971 000: 25: 0,500:1 124: 18:	325
2 0,0306 1 858 716 513 000 26 0,521 1 112 30	900
	225
4 0,0715 1 625 483 234 000 28 0,561 1 105 37 1	470
5 :0,0918 :1 585: 443:196 000: :29 : 0,582 :1 083: 59: 3	490·
6 0,1122 1 582 440 194 000 30 0,602 1 057 85 7	240
: 7 :0,1326 :1 572: 430:185 500: :31 : 0,623 :1 056: 86: 7	400·
8 0,1530 1 541 399 159 500 32 0,643 1 054 88 7	760
• 9 :0,1735 :1 522: 380:144 500: :33 : 0,663 :1 038: 104: 10	400
10 0,1940 1 458 316 100 000 34 0,684 1 017 125 15	610
:11 :0,214 :1 375: 233: 54 400: :35 : 0,705 :1 006: 136: 18	500°
12 0,235 1 340 198 39 300 36 0,725 938 204 41	600
:13 :0,255 :1 286: 144: 20 800: :37 : 0,745 : 938: 204: 41	600·
14 0,275 1 245 103 10 300 38 0,765 916 226 51	100
:15 :0,296 :1 243: 101: 10 100: :39 : 0,786 : 837: 305: 93	000:
16 0,316 1 234 92 8 500 40 0,806 828 314 99	000
:17 :0,337 :1 231: 89: 7 940: :41 : 0,826 : 798: 344:118	500:
18 0,357 1 227 85 7 240 42 0,847 747 395 156	000
:19 :0,378 :1 223: 81: 6 580: :43 : 0,867 : 703: 439:194	000:
20 0,398 1 217 75 5 630 44 0,888 700 442 196	000
:21 :0,418 :1 194: 52: 2 7 10: :45 : 0,909 : 653: 489:240	000:
22 0,439 1140 2 4 46 0,929 643 499 250	000
:23 :0,459 :1 128: 14: 196: :47 : 0,949 : 595: 547:300	000:
. 24 . 0,480 . 1 128 . 14. 196. 48 0,9 7 0 . 538. 604. 365	000
:49 : 0,990 : 479 : 663 : 440	000:
	===

La valeur de 😙 est encore supérieure de 10 % à celle trouvée à NOUMEA. La dispersion de l'échantillon est donc importante.

c) Intervalle interquartile

Les bornes théoriques de l'intervalle interquartile $P = \frac{2}{3}$ or et $P + \frac{2}{3}$ ont ici les valeurs suivantes :

$$\overline{P} - \frac{2}{3} T = 907 \text{ mm}$$

et

$$\overline{P} + \frac{2}{3} = 1 377 \text{ mm}$$

D'où l'intervalle interquartile : (907 , 1 377)

Or, on dénombre 28 valeurs de l'échantillon sur 49 au total, comprises dans l'intervalle :

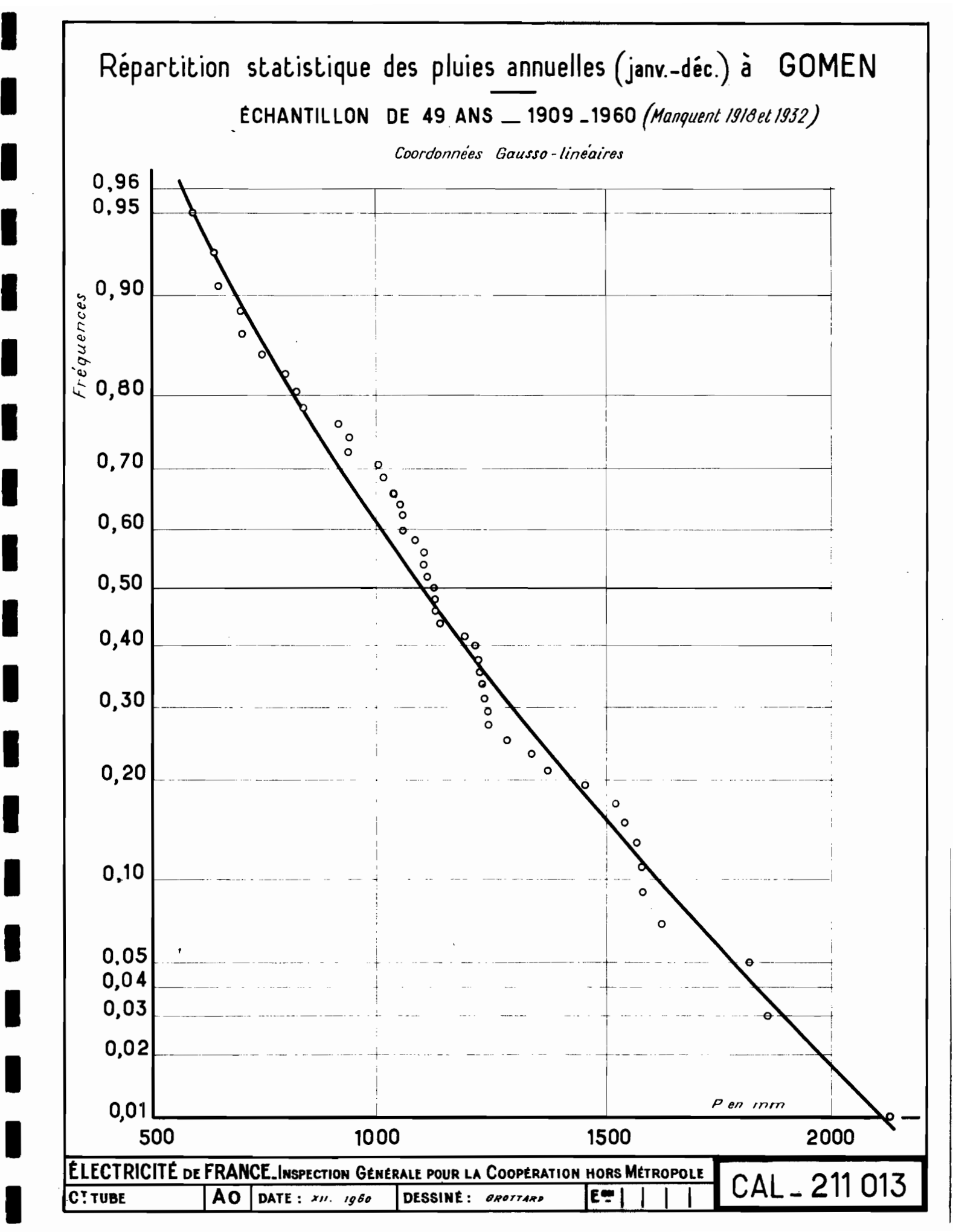
11 valeurs sur 28 sont supérieures à la moyenne P et 17 lui sont inférieures. La symétrie de la répartition est donc très mauvaise.

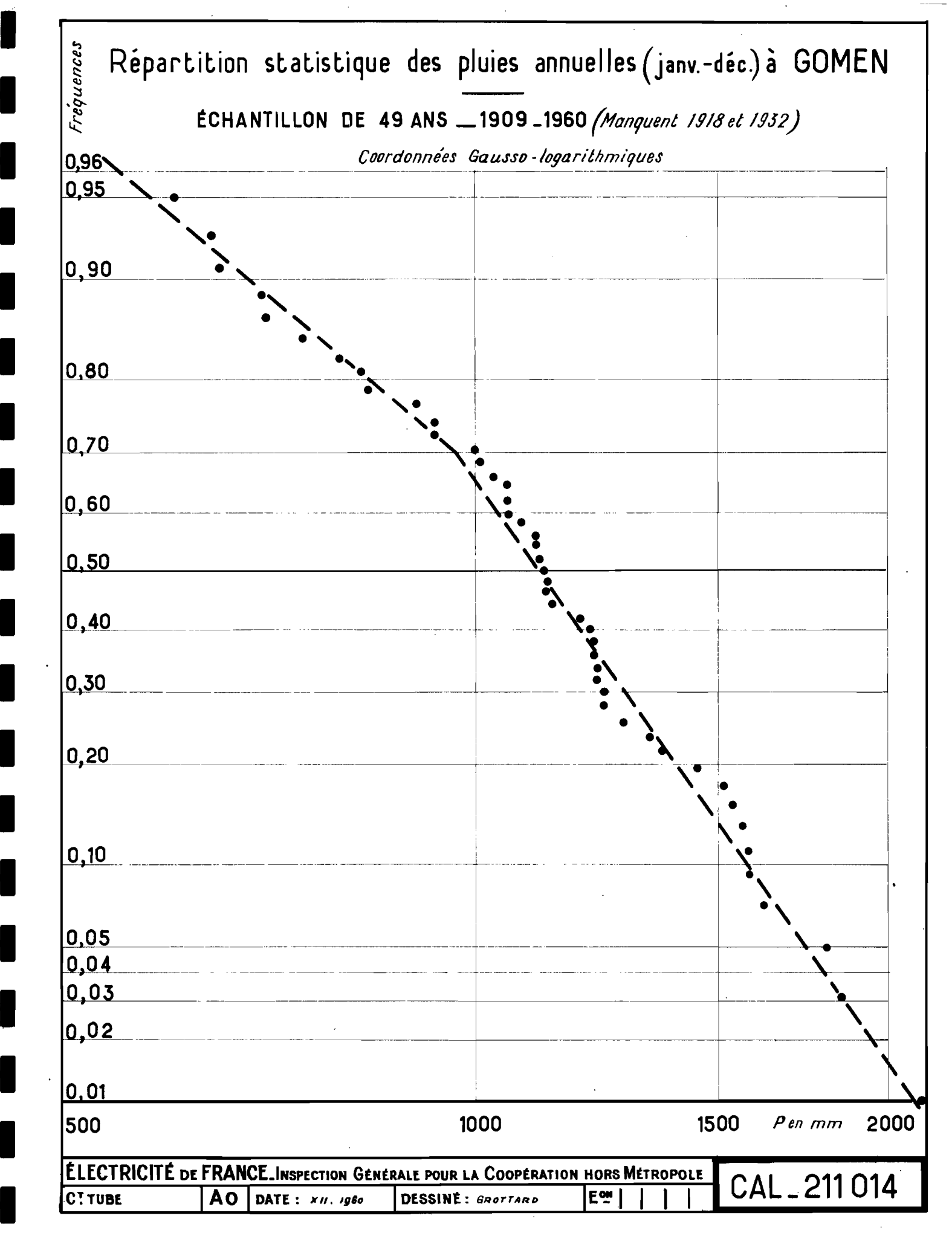
d) Courbe représentative de la répartition statistique

Un graphique en coordonnées gausso-linéaires des fréquences et des pluies annuelles montre que la loi de Gauss linéaire ne s'ajuste pas sur la répartition statistique expériment le de la pluviométrie annuelle à GOMEN. Le même graphique, en coordonnées gausso-logarithmiques, montre cependant que l'on peut assimiler la courbe de réparti-tion expérimentale à deux demi-droites de pentes différentes, se raccordant au point de fréquence 0,7.

Il ne faut pas voir en ce point une singularité de la répartition statistique, mais seulement une simplification graphique adoptée dans le tracé de la courbe expérimentale.

· Cette courbe peut ainsi se définir de la façon suivante:





′ =	=====	======	======	======	=======	=======	======	=======
·:	F .	0,980	0,950	0,900	0,500	0,100	0,050	0,020
I	mm	479	577	684	1 115	1 585	1 750	1 950
_								

e) <u>Tableau comparatif des pluies annuelles correspondant à quelques fréquences données, déterminées par la loi de Gauss, par la courbe expérimentale et par la chronologie de l'échantillon.</u>

Fréquence	Gauss	Exp.	EGUSTI OTTOOL	Moyenne inter-
0,980 cinquantenaire sèche	417	4 7 9.	479 < P < 538	·
0,950 bidécennale sèche	561	577.	P = 595	:
0,900 décennale sèche	690	684.	653 < P < 700	· · · · · · · · · · · · · · · · · · ·
0,500 moyenne	1 142	1 115	P =1 124	1 142
0,100 décennale humide	1 594	l 585.	1 582 <p<1 585<="" td=""><td></td></p<1>	
0,050 bidécennale humide	1 723	1 7 50.	l 816 < P < 1 858	·
0,020 cinquantenaire humide	1 867	1 950 [°]	1 858 <p<2 127<="" td=""><td>: ':</td></p<2>	: ':

On voit, d'après ce tableau, que la loi de Gauss sous-estime les années de fréquences extrêmes et surestime les années de fréquences moyennes.

A GOMEN comme à NOUMEA, et pour les mêmes raisons, il convient de distinguer la moyenne interannuelle des précipitations (l. 142 mm), de la précipitation de fréquence 0,5 (l. 115 mm).

III - Station de YATE Village

Nous disposons pour cette station d'un échantillon de 23 années consécutives de 1937 à 1960. Ce nombre restreint de valeurs ne permet pas de faire une étude précise de la répartition statistique des pluies. Les valeurs que nous proposerons seront donc sujettes à caution, mais un premier ordre de grandeur des pluies de fréquences rares pourra être retenu.

Les valeurs extrêmes de l'échantillon figurent :

en 1938 avec 4 833 mm et en 1941 avec 1 681 mm

Soit un écart de plus de 3 000 mm entre la plus sèche et la plus humide des années observées.

On trouvera dans le tableau n° III la liste des pluies annuelles rangées par ordre de décroissance, ainsi que leur numéro d'ordre, leur fréquence expérimentale :

$$F = \frac{n - \frac{1}{2}}{N}$$

et la valeur absolue de l'écart à la pluie moyenne.

La valeur de l'écart quadratique moyen o , calculée par la formule :

$$\mathcal{T}^2 = \frac{1}{N-1} \sum_{n=1}^{N} (P - \overline{P})^2$$

s'élève à :

$$\sigma = 761 \text{ mm}$$

Rappleons que nous avions trouvé:

C = 321 mm à NOUMEA

 $\sigma = 353 \text{ mm à GOMEN}$

Nous avons donc affaire à une répartition statistique beaucoup plus dispersée à YATE qu'aux deux autres stations.

TABLEAU Nº III

. =====			=======	. ===:			
Νο	F. exp	P	P - P	χ. Мο	F. exp	P	P - P
1	0,022	4 833	1 577		0,500	3 351	95
. 2 .	0,065	4 526	1 2 7 0 (, 13 ,	0 , 544 .	3 259 .	3 .
3	0,109	4 293	1 037	14	0,588 ·	3 210 '	46 ′
4	0,152	3 878 [622	15	0,631	3 049	20 7 .
: 5 :	0,196	3 657	401	:16	0,675	2 937	319
. 6 .	0,239	3 604 [348	. 17 <i>.</i>	0 ,7 18	2 930	326 [
: 7:	0,283	3 587	231	18 %	0,761	2 856	400
. 8 .	0,326	3 555 .	299	, 19 <u>,</u>	0,805	2 7 21	535
9	0,370	3 517	261	120	0,848	2 263	993
; 10 ;	0,414	3 465	209	; 21 <u>;</u>	0,891	2 198 1	1 058 .
111	0,456	3 405	149	. 22 '	0,935	2 126	1 130 ·
·: ·:	(•	•	23	0,980	1 681	l 575 [°]
====				=======================================		======	

a) <u>Intervalle interquartile</u>

Les bornes de cet intervalle ont pour valeur :

$$\overline{P} - \frac{2}{3} \sigma = 3 \ 256 - 507 = 2 \ 749 \text{ mm}$$

$$\overline{P} + \frac{2}{3} \sigma = 3 \ 256 + 507 = 3 \ 763 \text{ mm}$$

d'où l'intervalle (2 749 , 3 763).

On dénombre 14 valeurs sur 23 de l'échantillon, comprises dans l'intervalle :

dont 5 sont inférieures à P et 9 supérieures à P.

Bien que l'échantillon de valeurs soit restreint, il apparaît cependant que la symétrie de cet échantillon n'est pas bonne et que le calcul théorique de Gauss conduit à des résultats assez éloignés de la réalité.

b) Courbe représentative de la répartition statistique

Sur un graphique en coordonnées gausso-linéaires, nous avons figuré chaque pluie annuelle observée par sa hauteur et sa fréquence expérimentale. Nous avons tracé sur ce même graphique l'ajustement de la loi de Gauss linéaire.

Nous pensons que, sans perdre de vue le degré d'approximation qu'impose l'utilisation de cette répartition théorique, il n'est pas utile de chercher une courbe expérimentale qui serre de plus près l'échantillon. La droite de Gauss semble être la solution la plus simple et sans doute, malgré tout, la plus précise que l'on puisse retenir dans ce cas.

c) <u>Tableau comparatif des pluies annuelles</u> correspondant à quelques fréquences données, déterminées par la loi de Gauss et par la chronologie de l'échantillon.

======================================	Gauss	Echantillon	Moyenne : inter- : annuelle:
0,950 bidécennale sèche	2 0 06	1 681 〈 P〈2 126	· · · · · · · · · · · · · · · · · · ·
0,900 décennale sèche	2 281]	2 126< P < 2 198	· · · · · · · · · · · · · · · · · · ·
0,500 moyenne	3 2 5 6 .	P =3 351.	3 256
0,100 décennale humide	4 231	4 293 < P < 4 5 26	· · · · · · · · · · · · · · · · · · ·
0,050 bidécennale humide	4 506	4 526 < P < 4 833	· · · · · · · · · · · · · · · · · · ·

Remarque: Pour chacune des trois stations, les hauteurs de pluies correspondant à une fréquence donnée et déterminée par l'expression de la loi de Gauss sont calculées par la formule:

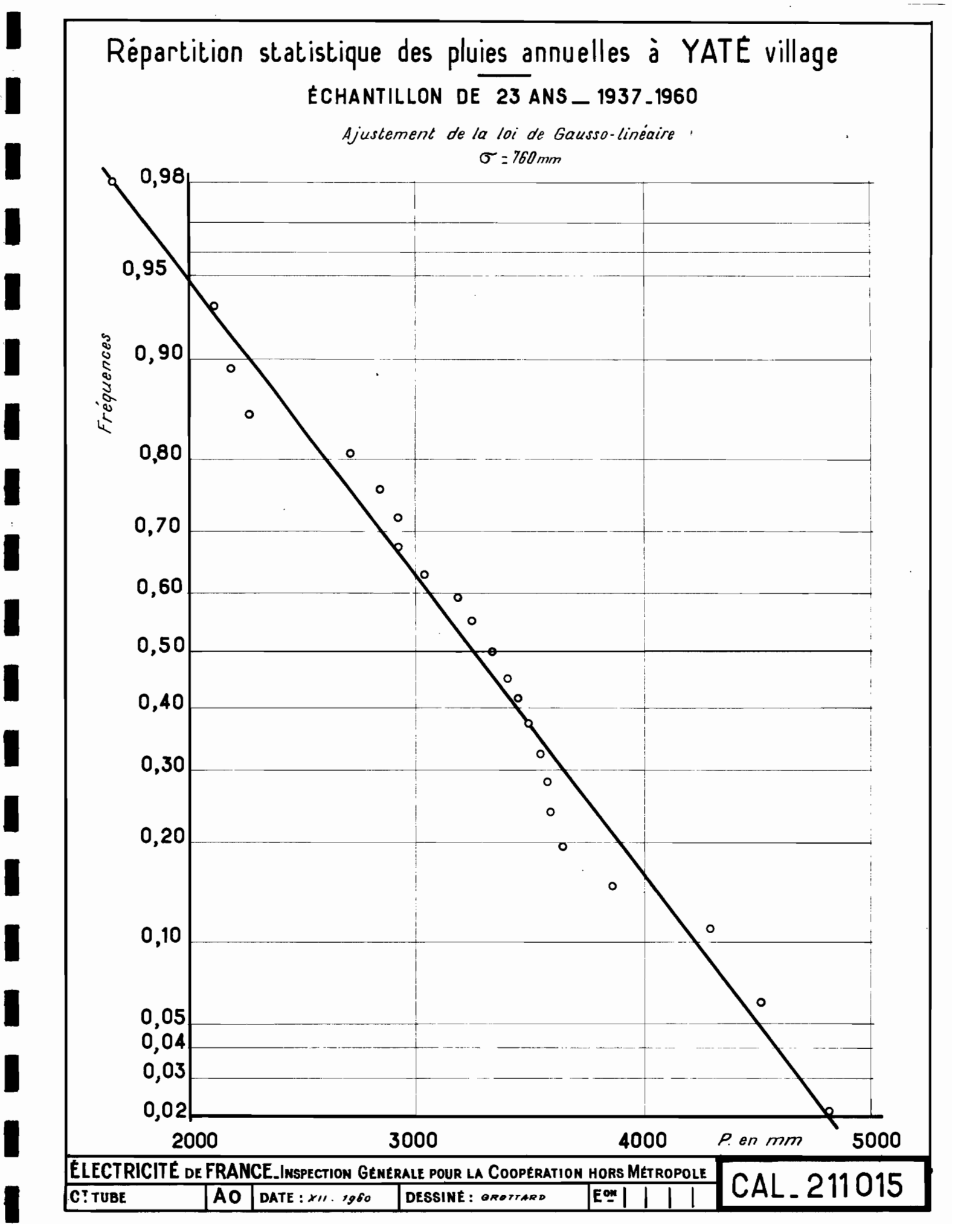
$$\mathbf{u} = \frac{\mathbf{P} - \mathbf{P}}{\sigma}$$

où u est la variable réduite de Gauss, P la moyenne interannuelle de la pluie, T l'écart quadratique moyen.

La loi de Gauss s'écrit :

$$F = \frac{1}{\sqrt{2\pi}} \int_{-\infty}^{u} e^{-\frac{u^2}{2}} du$$

où F est la fréquence.



PLUVIOMETRIE LENSUELLE

Si pour un poste pluviométrique quelconque, en NOUVELLE-CALEDONIE, on calcule les pluviométries moyennes mensuelles, on distinguera, sur l'année, une période pluvieuse de Janvier à Avril et une période relativement sèche de Août à Novembre. Mais si, sur cette "année-type" composée des pluviométries "moyennes" des 12 mois, on superpose telle ou telle année particulière, on constatera de grandes différences et des "amplitudes" de variations considérables d'une année sur l'autre - le mois d'Avril à GOMEN par exemple, pourra ne recevoir que 2 mm (en 1940) comme il pourra en recevoir 309 (1935) et il en est ainsi de chaque mois.

C'est pourquoi, faisant abstraction du cycle saisonnier existant sans conteste, nous avons étudié la répartition statistique de la pluviométrie mensuelle dans l'échantillon total des 12 N valeurs, sans individualiser chaque mois.

D'autre part, plutôt que de ramener chaque pluviométrie mensuelle à celle d'une période fixe de 30 jours, par la règle de proportionnalité, ce qui aurait eu l'avantage de définir avec précision la notion de pluviométrie mensuelle, nous avons préféré conserver le chiffre expérimental, la hauteur "vraie" tombée tantôt en 31, tantôt en 30 jours.

En effet, et surtout pour les précipitations exceptionnelles qui nous intéressent, ces fortes pluies sont tombées en quelques jours seulement et avec violence. Il est fort probable, par conséquent, que les totaux pluviométriques établis sur 30 et 31 jours sont bien souvent les mêmes. Nous avons donc l'avantage de travailler sur des chiffres exacts qui ont leur propre signification climatologique.

I - Station de NOUMEA

a) Pluviométrie mensuelle classée

Les 684 chiffres de précipitation mensuelle portant sur les 57 années de l'échantillon dont nous disposons, peuvent être classés de la façon suivante :

': ':	Classe	Nombre de valeurs	Nombre de valeurs: cumulées = n	n 684
:	O mm		684	1.
•	10 mm	42	642	0 , 939 .
•	20 mm	60	5 82	0,851
•	30 mm	45	537	0 ,7 85 .
•	40 mm	58 '	4 7 9	0,700
:	50 mm	43	436	0,637
•	60 mm	63 ·	373	0,545
:	70 mm	38	335	0,490
:	80 mm	45	290	0,424
·:	90 mm	33	25 7	0 , 3 7 6
: -	LOO mm	25	232	0 , 3 3 9
· -	120 mm	67	165	0,241
:]	140 mm	39	126	0,184
-	160 mm	32	94	0,137
: -	180 mm	23	: 71	0,104
. 2	200 mm	16	55	0,0805
: 2	220 mm :	15	40	0,0585
. 2	240 mm	8	32	0,0468
: 2	260 mm ·	6	: 26	0,0380
2	280 mm	4	22	0,0321
: 3	300 mm	5	17	0,0248
•	400 mm	13	4	0,00585
	500 mm	2	2 3	0,00292
•	500 mm	2	0	0,000

Si on trace en coordonnées semi-logarithmiques un graphique " P, $\frac{n}{684}$ ", on s'aperçoit que les points s'alignent correctement sur une droite dont l'expression analytique serait :

$$P = -187 \log_{10} (\frac{n}{684})$$

la pluie étant exprimée en millimètres.

Remarque: La valeur maximale observée est 586;0 mm au mois de Février 1920. Par contre, 8 mois, au total, ont été complètement secs.

b) Etude des fréquences rares :

L'étude préliminaire de la pluviométrie mensuelle classée, nous a montré que l'on pouvait attribuer à la hauteur de précipitation, une forme logarithmique de n. On peut donc, en passant au logarithme népèrien, écrire théoriquement:

$$P = K \log \frac{684}{n}$$

où n représente le rang de la pluie P dans la suite décroissante des 684 valeurs de l'échantillon et K est une constante positive. Cette formule appliquée à chacune des valeurs expérimentales de l'échantillon conduit à des valeurs de K oscillant autour d'une valeur moyenne. Nous poserons donc ce facteur K constant et égal à sa valeur moyenne. A NOUMEA:

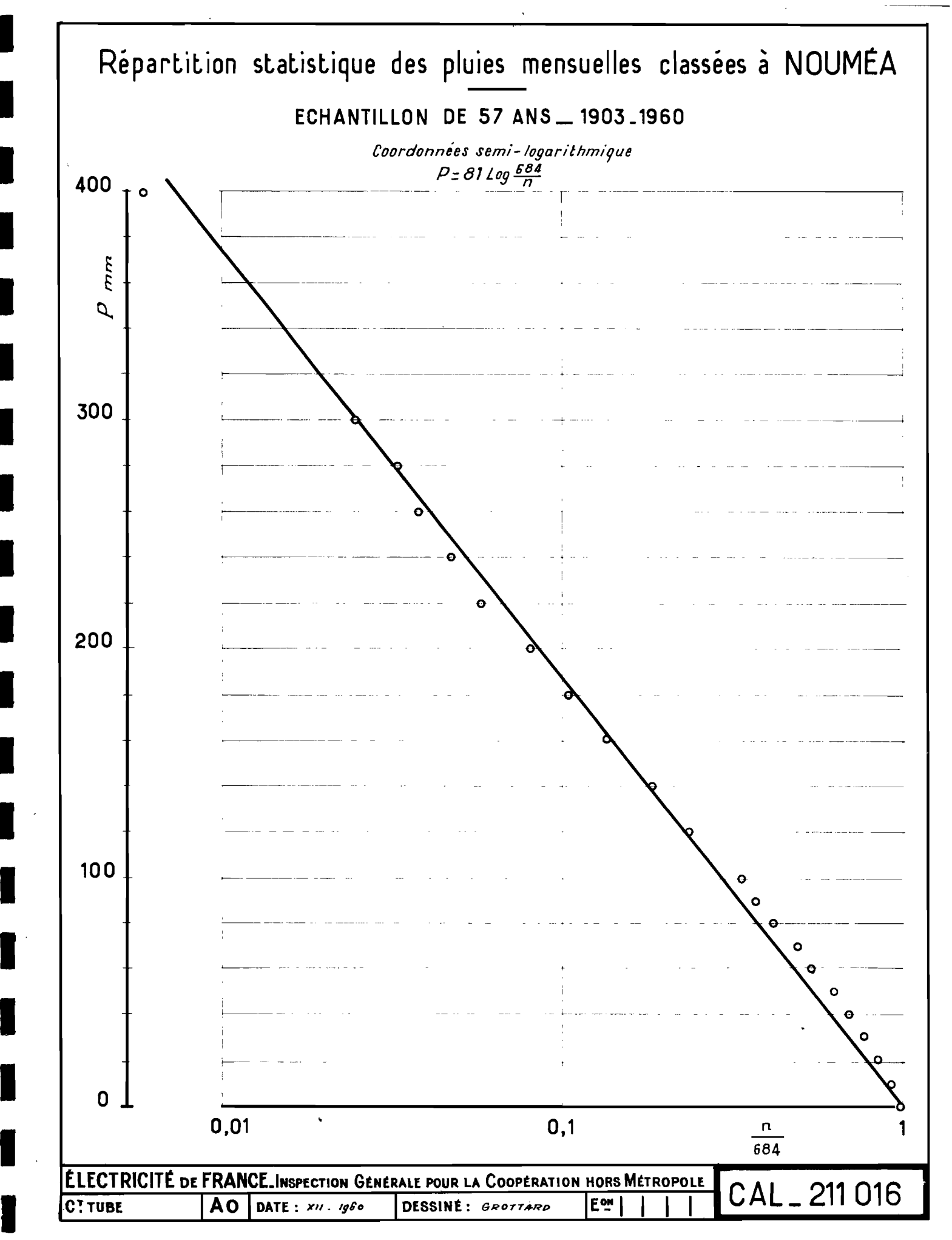
$$K = 81 \text{ mm}$$

D'une façon générale, en appelant N le nombre d'années d'observations, on pourra écrire :

$$P = K \log 12 \frac{N}{n}$$

Or, à un élément P de rang n d'un échantillon de 12 N valeurs, on a l'habitude d'attribuer une "fréquence expérimentale" définie par la formule approchée :

$$\Psi_{P} = \frac{n - \frac{1}{2}}{12N}$$



Nous remarquerons d'abord, qu'en multipliant cette fréquence φ p par 12, nous obtiendrons une nouvelle fréquence φ

$$\phi_{\rm p} = \frac{\rm n - \frac{1}{2}}{\rm N}$$

voisine de l'unité pour n = N (ce qui correspond effectivement à "une éventualité par an", en moyenne).

Il est à remarquer, en second lieu, que la fonction ϕ s'écrit :

$$\emptyset_{P} = \frac{n}{N} - \frac{1}{2N}$$

et tend vers la valeur finie $\frac{n}{N}$ lorsque N tend vers l'infini.

En conséquence, nous définirons par :

$$F = \frac{n}{N}$$

la fréquence de la pluie P calculée par la formule :

$$P = K \text{ Log } 12 \frac{N}{n}$$

Ainsi, la fréquence "annuelle" correspondra à F = 1 la fréquence "décennale" correspondra à F = 0,1 etc....

Ces formules appliquées à l'échantillon de NOUMEA conduisent aux résultats suivants :

n N	fréquences	P mm
1 0,5 0,2 0,1 0,05 0,02	annuelle biennale quinquennale décennale bidécennale cinquantenaire centenaire	201 257 332 388 444 518 575

Si nous classons maintenant par ordre de décroissance les 57 premières valeurs de l'échantillon, et affectons à chacune d'elles la fréquence expérimentale corres-

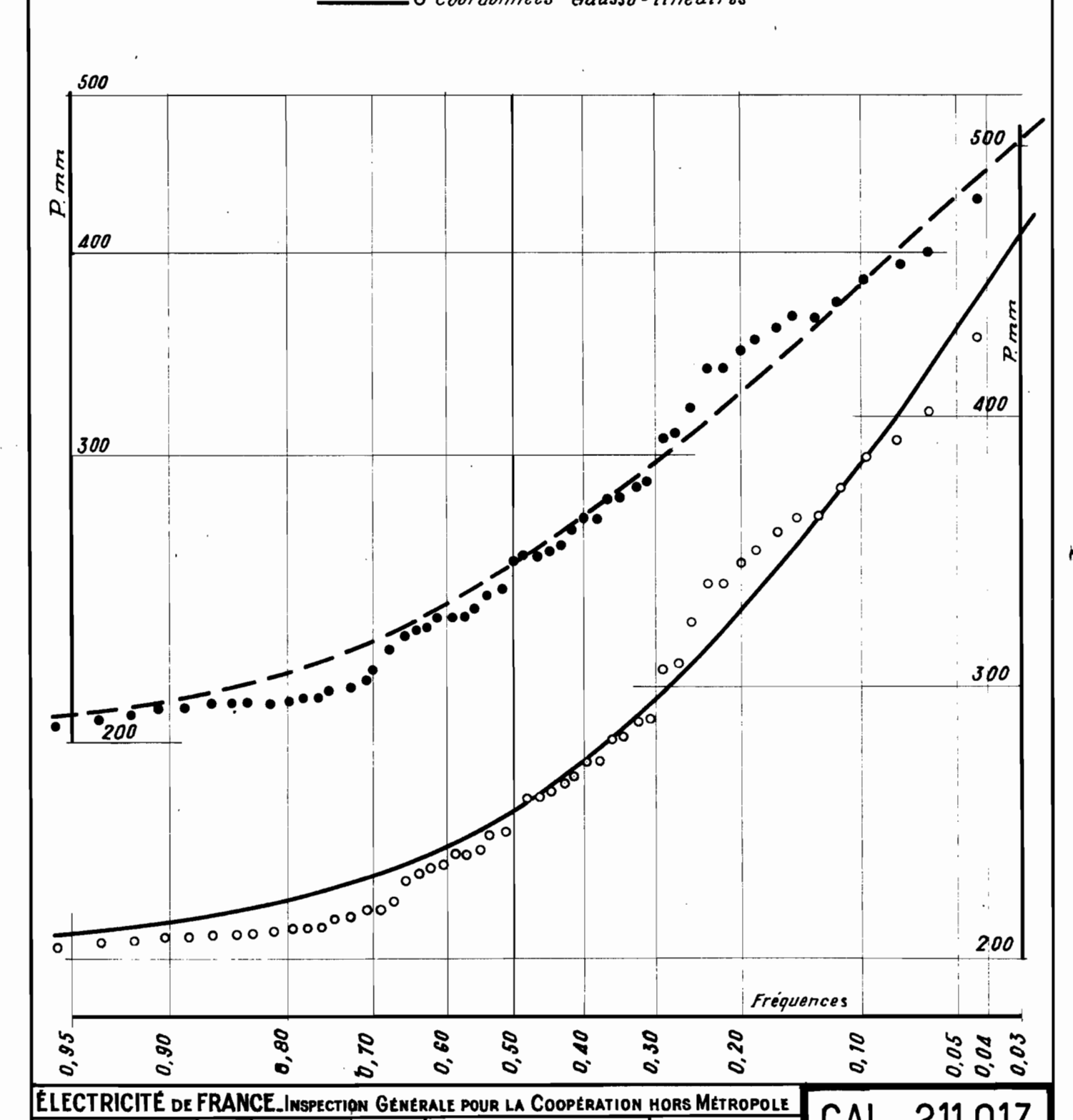
pondant à son rang $\emptyset = \frac{n - \frac{1}{2}}{N}$

nous obtenons le tableau suivant :

. No	P	©	•	No	P	======== ර ()
1	586 , 0	0,00877	•	29	258 , 5	0,500
2	576 , 4	0,0263	:	30	247,5	0,517
3	429 , 9	0,0439	•	31	245,9	0,535
4	402 , 0	0,0615	: "	32	241,1	0,553
5	392,2	0,0790	:	33	238 , 9	0,570
6	384,8	0,0966	: '	34	238,8	0 , 587
7	373 , 5	0,1140	:	35	238,1	0,605
8	364,1	0,1315	:	36	234 , 5 .	0,622
9	363 , 0 ′	0,149	:	37	234,1	0,640
10	358,1	0,167	: '	38	232,0	0,658
: 11	351,8	0,184	•	39	229,3	0,675
12	346,8	0,202	:	40 (221,4	0 , 693
: 13	339,4	0,219	•	41	218,0	0,710
14	339,0	0,237	1	42	216,1	0 , 727
: 15	324,4	0,254		43	215,3	0,745
16	309 , 0 ,	0,272		44	212,1	0 , 763
: 17	307,2	0,290	,	45	211,8	0,780
18	288,4	0,307		46	211,3	0 , 798
: 19	286,6	0,325	• '	47	211,2	0,815
20	282 , 0	0,342	•	48	210,2	0,834
: 21	281,4	0,360	•	49	210,0	0,850
22	273 , 7 .	0 , 377	• 1	50	209 , 9 .	0 , 868 .
: 23	272,6	0,395		51	209,1	0,885
. 24	267,8	0,413		52	208,6	0,904
2.5	264,3			53	207,7	0,921
•	261 , 5 .	,	'	54	206,1	0 , 939
	259,6			55	204,3	
28	259 , 3	0,483	· '		199,4	
*	'	,		57	199,4	0,991
		=======	•	======	=======	=======================================

Répartition statistique des pluies maximales mensuelles à NOUMÉA ÉCHANTILLON DE 57 ANS

____ Coordonnées Gausso-logarithmiques _____ O Coordonnées Gausso-linéaires



DESSINE: GROTTARD

Nous avons placé ces valeurs sur un graphique (P, Ø) en coordonnées gausso-linéaires et gausso-logarithmiques.

Nous pouvons maintenant comparer aux valeurs théoriques les valeurs expérimentales des pluies mensuelles des fréquences données.

<u>n</u> N		Valeurs théoriques	
0,2 0,1 0,05 0,02	annuelle biennale quinquennale décennale bidécennale cinquantenaire centenaire	444	199,4 258,5 346,8 < P < 351,8 373,5 < P < 384,8 402,0 < P < 429,9 576,4 < P < 586,0 P > 586,0

Nous constatons que les valeurs théoriques et expérimentales concordent de façon satisfaisante jusqu'à la fréquence bidécennale. Au-delà, nous atteignons les valeurs extrêmes de l'échantillon pour lesquelles la formule de la fréquence expérimentale n'est plus exacte.

Nous noterons enfin que l'écart considérable, existant entre les deux premières valeurs de l'échantillon et les suivantes, tendrait à confirmer que ces précipitations de 586 et 576 mm sont très exceptionnelles et dépassent celle de fréquence cinquantenaire.

Il ne faut évidemment voir dans nos résultats que des valeurs théoriques, que les observations à venir pour-ront modifier, surtout pour les fréquences très rares, en perfectionnant l'ajustement de la loi théorique à la répartition statistique expérimentale.

Nous avons dénombré, chaque mois de l'année, le nombre de valeurs ayant atteint ou dépassé celles correspondant à quelques fréquences types. On trouvera ce classement dans le tableau ci-après.

n	Fréquence	Pmm	J	F	M	A	M	J	J	A .	s į	0	N	D .
1	Annuelle	201	 5 .	9 .	 14	10	3	3 .	4	1 .	0	1	2	3
	Biennale													
	Quinquen.													
0,1	Décennale .	388	0 ,	1	1	1	0 .	1	0	0	0	0 ;	1	0 ,
0,05	Bidécen.	444.	0 ,	1	1	0	0 .	0	0	0 .	0	0 .	0	0 ,
0,02	Cinquant.	518	0 .	1	1	0	0	0 .	0	0 .	0 .	0 .	0 .	0 .
0,01	Centenaire	5 7 5.	0	1	0	0	0 .	0	0	0 .	0	0 ,	0	0 .
P	Moy.mens.		108	119	150	110	92	101	93	66	49	44	50	77

Le tableau ci-dessus, sur lequel figure pour chaque mois le nombre de fois que la pluis mensuelle de fréquence donnée a été atteinte ou dépassée, montre que les fortes intensités pluviométriques se rencontrent principalement aux mois de Février, Mars et Avril, qu'on peut encore les craindre au mois de Juin comme au mois de Janvier, mais qu'en Août, Septembre et Octobre on a toujours affaire à des intensités moyennes et faibles.

La pluviométrie moyenne mensuelle suit fidèlement ces mêmes variations au long de l'année : première pointe maximale en Mars et seconde bien inférieure en Juin, minimum en Octobre et recrudescence dès le mois de Novembre.

II - Etude de la pluviométrie mensuelle à GOMEN

Comme pour l'échantillon de NOUMEA, nous avons commencé par ranger les précipitations mensuelles des 49 années de l'échantillon de GOMEN dans les classes de 10 en 10 mm. Nous avons cumulé ces valeurs et dressé le tableau suivant où n représente le nombre de valeurs contenues dans les classes de rang supérieur.

CL	asse .	Nombre de valeurs	:Nombre de valeurs: : cumulées = n	n
0	mm ·		588 °	1.
10	mm 📜	<i>6</i> 1	527	0,896
20	mm :	57	470	0,800
30	mm	49	421	0,715
4 0	mm :	30	391 ′:	0 , 665
50	mm .	36	355	0,604
: 60	mm :	37	: 318 :	0 , 540
70	mm :	34	284	0,483
: 80	mm ':	33	: 251 ·:	0,426
90	mm :	21	230	0,391
: 100		24	206	0,350
120	mm .	35	171	0,291
: 140		23	: 148	0,252
160		32	11.6	0,197
: 180		23	93	0,158
200	*	14	79	0,134
220	4.	17	: 62 :	0,105
240	цпп	14	48	0,0815
260		11	37	0,0629
280		7	. 30	0,0510
300		6	24	0,0408
400		18	. 6 .	0,0102
<u>: 500</u>	4.	5	: 1 :	0,0017
600	mm :	1	0	0

Comme à NOUMEA, nous avons tracé un graphique en coordonnées semi-logarithmiques des précipitations classées, en fonction de $\frac{n}{588}$. Sur ce graphique, les points expérimentaux s'alignent très correctement sur une droite.

On peut donc conserver à GOMEN la formule générale de la pluie mensuelle.

$$P = K Log \frac{12N}{n}$$

On déterminera graphiquement la valeur de K

$$K = 95 \text{ mm}$$

En conservant la même définition de la fréquence théorique

$$F = \frac{n}{N}$$

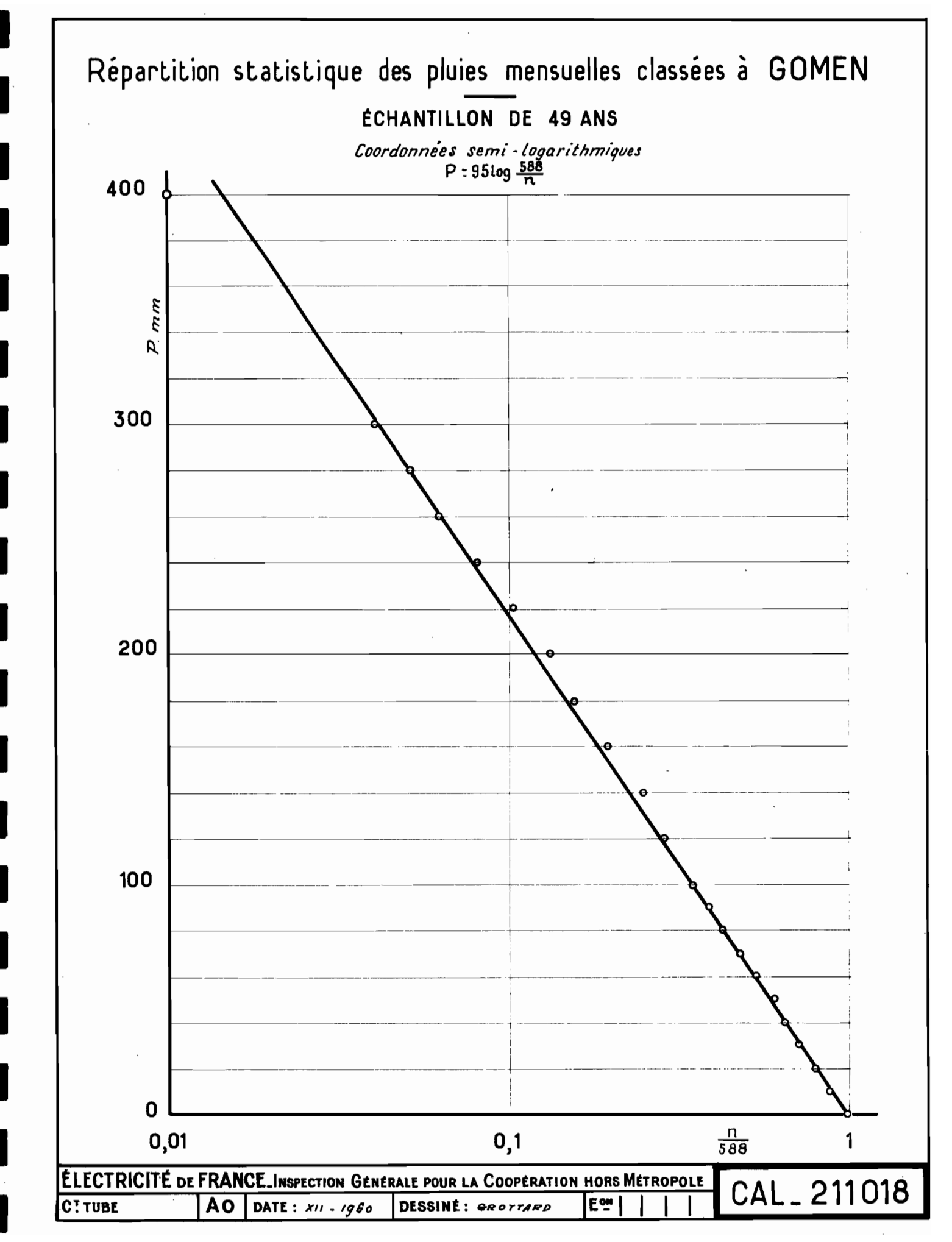
l'application de la formule $P = K \text{ Log } \frac{12N}{n}$

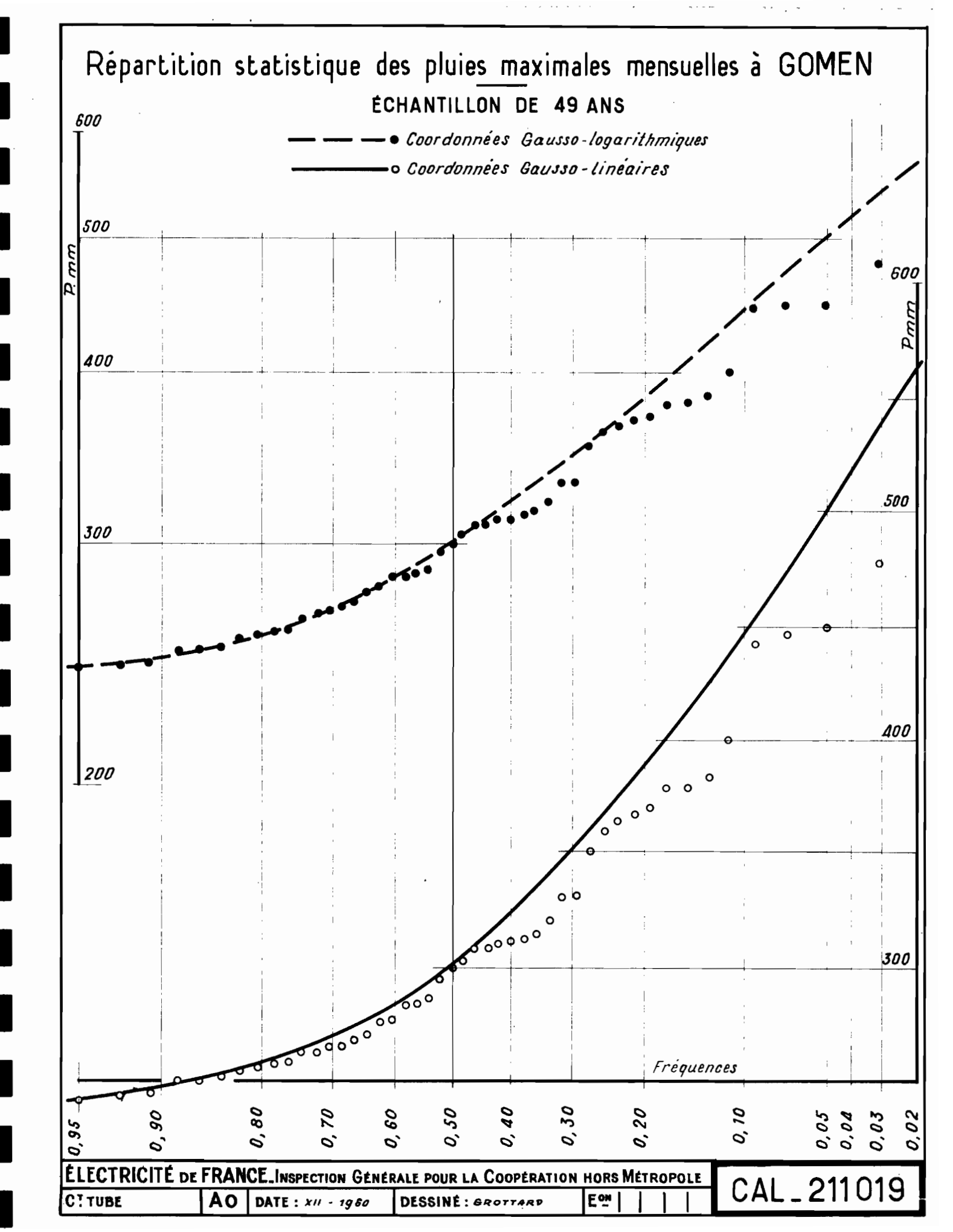
conduit aux résultats théoriques suivants :

n N	fréquences	P mm
1 0,5 0,2 0,1 0,05 0,02	annuelle biennale quinquennale décennale b i décennale cinquantenaire	236 302 389 455 520 608
0,01	centenaire	674

Nous avons ensuite rangé par ordre de décroissance les chiffres de pluviométrie mensuelle et affecté à chacune des valeurs la fréquence expérimentale

$$\emptyset = \frac{n - \frac{1}{2}}{N}$$
 de son rang.





· =	======	=======	=======================================	•	======	=======================================	=======================================
·:	Мо ;	P (φ "		No	P	Ø
•	1 :	599,5	0,0102		26	295,6	0,520
•	2	4 7 8,0	0,0306		2 7	287,3	0,541
:	3	448,5	0,0510	•	28	284,9	0,561
*	4	446,8	0,0715	•	29	283,7	0,581
·:	5	442,3	0,0920	4	30	283,7	0,602
' ••••••••••••••••••••••••••••••••••••	6	400,0	0,112		31	2 76, 9	0,623
•	7	383,5	0,132		32	276,3	0,643
:	8	379,3	0,153		33	271,0	0,664
·:	9	379,1	0,173		34	269,4	0,684
•	10	3 7 1,0	0,194		35	267,6	0,705
•	11	367 , 9 ′	0,214	,	36 ·	266,2	0,725
•	12	364 , 5 .	0,235		37	263,1	0,745
•	13	360 , 5	0,255		38	259,0	0,765
*	14	351, 5	0,276	·	39	25 7, 8 .	0,785
•	15	331,9	0,296		40	256,4	0,806
•	16	330,7	0,316		41	254 , 9 .	0 , 826
:	17	320,7	0,337	,	42	251,7	0,846
•	18	315,5	0,35 7		43	2 50, 8 .	0,867
:	19	313,8	0,378		44	250,7	0,888
*	20	312,1	0,398		45	244,5	0,908
•	21	311,3	0,419		46	243,5	0,928
:	22	309 , 6 .	0,440	•	47	242,3	0,949
:		309,0		-	48	241,8	0,970
•	24	303,8	0,480	•	49	235,0	0,990
•		299,2 ·	•	4		,	
:	; =====	; :== == ====		:======	=======	:=======	; =======

Nous avons reporté ces points expérimentaux sur un graphique en coordonnées gausso-linéaires et gausso-logarithmiques.

Nous pouvons alors dresser le tableau comparatif des valeurs théoriques et expérimentales des précipitations de fréquences données :

n N		Valeurs théo- riques de Pmm	<u> </u>
0,2 0,1 0,05 0,02	annuelle biennale quinquennale décennale bidécennale cinquantenaire centenaire	236 302 389 455 520 608 674	235,0 299,2 367,9 < P < 371,0 400,0 < P < 442,0 448,5 < P < 478,0 478,0 < P < 599,5 P > 599,5

Nous constatons qu'au-delà de la fréquence décennale les valeurs théoriques ne concordent plus avec les valeurs expérimentales. La même remarque qu'à NOUNEA est à faire ici, vu le grand écart existant entre la première et la seconde valeur de l'échantillon et le groupement excessif des quatre suivantes.

Classification mensuelle des pluies de fréquences rares :

'	====	========	====	====	=====	====	====	====	====	====	====	====	====	====	====
' :	n N	Fréquence	P .	J	F .	М	Α .	М	J	J	A .	S	0	N.	D .
	1	Annuelle	2 3 6	13	10	11	3	4	3	0]	0]	0	0]	1	3
		Biennale													
' :	0,2	Quinquen.	389	2	ī.	2	0	0	0	0	0	0	0	0 ,	1
' :	0,1	Décennale	455	1	0 .	1	0	0	0	0	0	0	0 .	0_,	0 ,
' :	0,05	Bidécen.	520	1	0 .	0	0	0	0	0	0	0	0	0	0
' •	0,02	Cinquant.	608	0	0	0	0	0	0	0 1	0 /	0 [0 ,	0	0 ,
' :	0,01	Centenaire	6 7 4.	0 ,	0 ,	0	0	0 .	0	0 .	0	0 ,	0	0	0 .
:	P	Moy mens.	:	175	165	160	90	75	91	65	61	55	40	48	:117:

Ce tableau montre très clairement qu'à GOMEN les saisons sèches et humides sont très marquées, bien plus accentuées qu'à NOUMEA.

On constate de fortes intensités en Décembre, Janvier, Février et Mars. A partir de Juillet jusqu'à Novembre, on ne rencontre que de faibles intensités pluviométriques.

Contrairement à NOUNEA où l'on observait une pointe individualisée en Mars, les mois de Janvier, Février et Mars à GOMEN reçoivent une hauteur de pluie à peu près semblable.

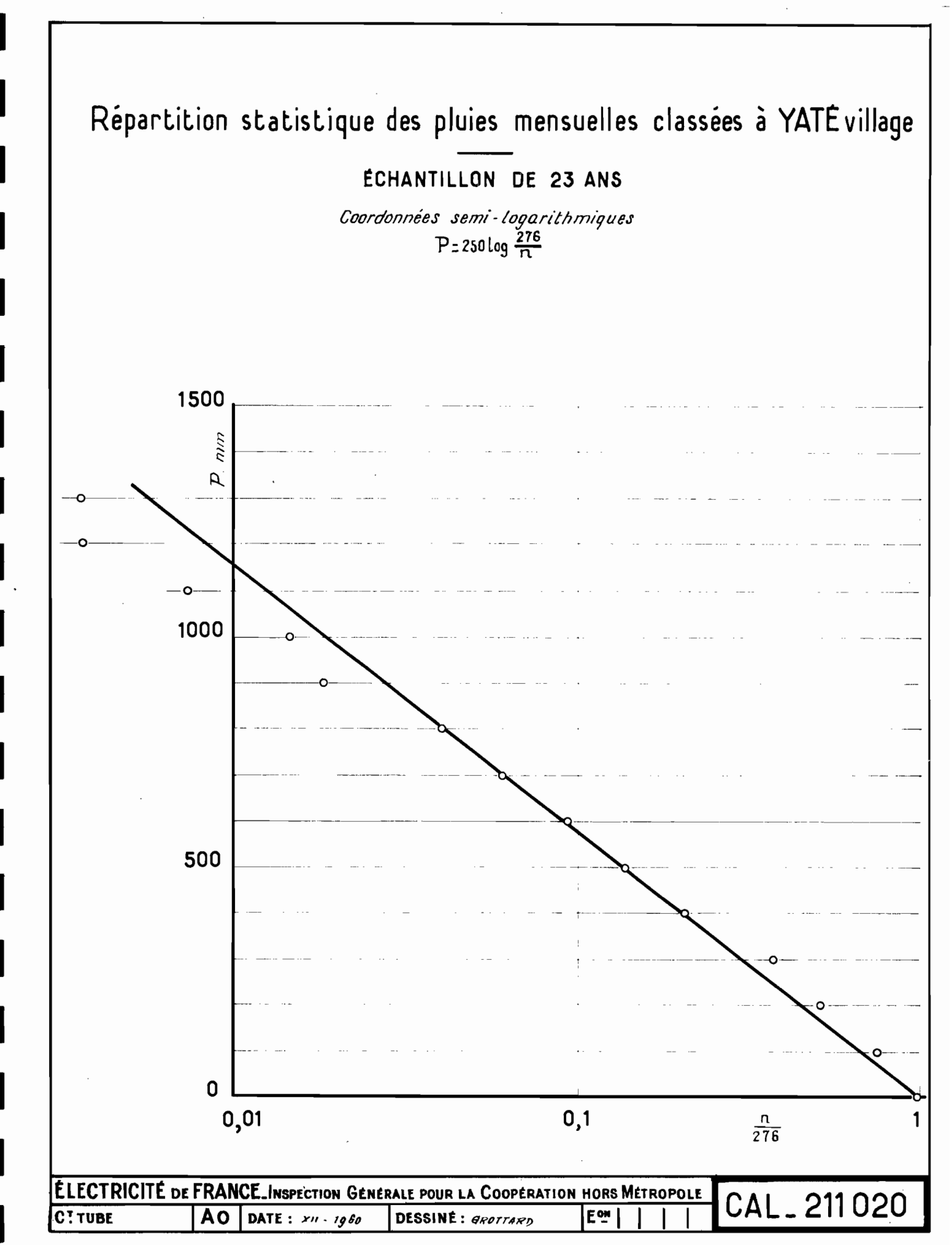
III - Etude de la pluviométrie mensuelle à YATE

Nous avons rangé, dans des classes de 100 mm, les pluies mensuelles des 23 années de l'échantillon. On trouvera dans le tableau suivant l'intervalle de la classe, le nombre de valeurs de l'échantillon qu'elle contient, le nombre de valeurs contenues dans les classes supérieures et le rapport n relatif à la borne inférieure de la classe:

 $\frac{n}{12N} = \frac{n}{276}$

Classe		Nombre de valeurs cumulées = n	<u>n</u> 276
O mm		276	1.
: 100 mm	67	209	0,757
200 mm .	64 ,	145	0,525
: 300 mm	41	104	0,377
. 400 mm	47 <i>.</i>	57	0,207
: 500 mm	19	28	0,138
600 mm	12	26	0,094
700 mm	9 .	17	0,0616
800 mm	6	11	0,0399
900 mm	6	5	0,0181
1000 mm	1 .	4	0,0145
:1100 mm	2	2	0,0072
1200 mm	1 ,	1	0,0036
:1300 mm	0	1	0,0036
1400 mm	1	0	0

Si l'on trace sur un graphique en coordonnées semi-logarithmiques les variations de la pluie mensuelle classée en fonction de $\frac{n}{276}$ on s'aperçoit que l'alignement, sur une droite, que l'on avait observé aux deux autres stations, est ici assez imprécis.



On peut penser que le calcul des pluies mensuelles de fréquences très faibles, par une formule logarithmique, conduirait à une surestimation des hauteurs de ces précipitations. Il faudrait pouvoir disposer d'un échantillon de valeurs plus important pour préciser cette hypothèse et chercher l'ajustement d'une formule mathématique à la répartition expérimentale.

En toute première approximation, nous conserverons la forme :

$$P = K Log \frac{276}{n}$$

Le coefficient K est de l'ordre de 250. Rappelons, par comparaison, qu'à NOUMEA et à GOMEN, on avait trouvé respectivement: K = 81 et K = 95.

Ces réserves étant faites sur la validité de la

formule

$$P = 250 \text{ Log } \frac{276}{n}$$

son emploi conduit aux résultats suivants :

n N	fréquences	P mm
1 0,5 0,2 0,1 0,05 0,02 0,01	annuelle biennale quinquennale décennale bidécennale cinquantenaire centenaire	621 795 1 025 1 180 1 380 1 600 1 775

Remarque : Les pluies de fréquences cinquantenaire et centenaire calculées, résultent d'une extrapolation très hasardeuse de l'échantillon. Il ne faut voir dans ces 2 valeurs qu'un résultat rigoureusement théorique qui peut être très différent de la réalité. Cependant, on peut supposer que le passage de deux dépressions cycloniques, pendant le même mois, conduirait à des hauteurs de précipitations de cet ordre. Il faudrait alors pouvoir préciser si une telle éventualité est admissible.

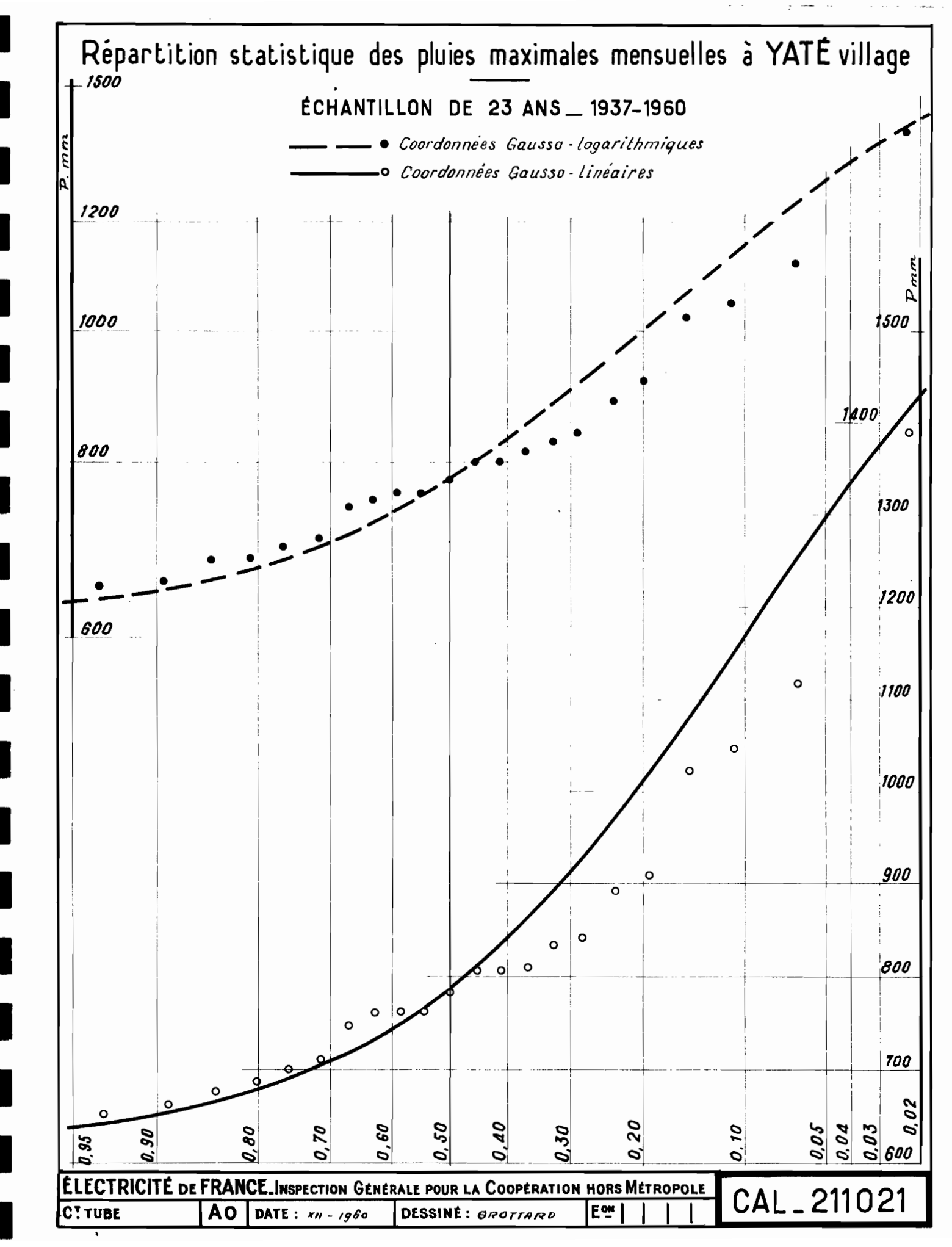
Nous avons ensuite rangé les hauteurs de précipitations mensuelles par ordre de décroissance et affecté à chacune d'elles la fréquence expérimentale de son rang :

$$\emptyset = \frac{n - \frac{1}{2}}{N} \quad \text{où} \quad N = 23$$

· =	=====	=======	========	,	·							
' :	Ио :	P	ø :	1	No	P (Ø í					
•	1	1 388	0,022	: ': :	13	763	0,544					
*	2	1 116	0,065		14	7 63 .	0,588					
•	3	1 046	0,109		15	757	0,631					
:	4	1 020 [0,152		16	745	0,675					
•	5	9 18 4	0,196 ·		17	709	0,718					
*	6	891 (0 , 239		18]	6 9 9 .	0,761					
· :	7	842 ′	0,283	· '	19	686 ·	0,805					
•	8	832 (0,326		20 .	675	0,848					
•	9	818	0,370	· ·	21	660	0,891					
•	10	806	0,414	; ;	22	681 [0,935					
·:	11	805	0,456	,	23	644	0,980					
•	12	7 80 .	0,500		·	· · · · · · · · · · · · · · · · · · ·	·•					

Ces points expérimentaux portés sur un graphique en coordonnées gausso-linéaires et gausso-logarithmiques s'alignent sur une courbe de forme analogue à celle établie pour les stations de NOUNEA et de GOMEN.

Comparons maintenant les valeurs théoriques aux valeurs expérimentales des pluies mensuelles.



<u>n</u>			Valeurs expérimen- tales de P mm
0,5 0,2 0,1 0,05 0,02	annuelle biennale quinquennale décennale bidécennale cinquantenaire	1 380 1 600	644 780 891 < P < 918 1 046 < P < 1 116 1 116 < P < 1 388 P > 1 388
,,0,01,	centenaire	1 775	' '

Ce tableau montre qu'il y a lieu d'être réservé sur les chiffres à attribuer aux hauteurs de précipitations de fréquences inférieures à la décennale à YATE. Seules des observations prolongées apporteront les renseignements nécessaires pour une meilleure définition de ces précipitations.

Classification mensuelle des pluies de fréquences rares :

	réquence.													
:1 :A:	nnuelle	621	6 3	1 1	7 3	3 3	1 3	1 3	1 3	0 :	0 1	0 1	2 3	2 '
:0,5 :B	iennale	795	3 '	0 4	2 '	2 '	: 1 :	0 :	0 1	0 :	: 0 :	0 .	2 3	: l :
:0,2 :Q	uinquen.	1025:	1 :	0 1	0 1	0 1	0 1	0 1	: 0 :	0 1	: 0 :	0 1	2 3	: 0 :
10,1 1D	écennale	1180	0 3	0 1	0 1	0 '	0 :	0 1	0 1	0 :	: 0	0 :	1 3	: 0 :
:0,05:B	idécen.	:1380	0 1	0 :	0 :	0 1	0 :	0 1	0 1	0 1	: 0 :	0 1	1 1	0 ':
:0,02:0	inquant 🛶	:1600°	0 1	0 :	0 1	0 :	0 1	0 :	0 1	0 1	: 0 :	0 :	0 1	0 4
:0,01:0	enten.	1775	0 1	0 4	0 1	0 :	0 1	0 1	0 1	0 1	: 0 4	0 1	0 1	0 1
	loy mens.													

On remarquera dans ce tableau que le mois de Février est singulièrement défavorisé par rapport aux mois de Janvier et de Mars, tant du point de vue hauteur qu'intensité pluviométrique. On remarquera aussi que c'est au mois de Novembre, au début de la saison des pluies, que l'on a observé les deux plus fortes intensités.